

Ciencia Abierta desde las trincheras: mi experiencia como investigador

Josep Maria Macias Solé Profesor de investigación





# **MIRMED-GIAC**



Mirades sobre la Mediterrània a l'antiguitat – Grup interinstitucional en arqueologia clàssica

# **GIAP**



Grup d'Investigació en Arqueologia del Paisatge

# **ArPA-LIRA**



Arqueologia de les
Produccions Artístiques,
Literàries
i Iconogràfiques i la seva
Recepció de l'Antiguitat als
nostres dies



# **MIRMED-GIAC**

# Arqueologia romana i tardoantiga

/ Recerca / Grups de recerca / MIRMED-GIAC / Arqueologia romana i tardoantiga

# Informació del grup

## Inici MIRMED-GIAC

## Equips de recerca

Poblament i territori en època romana

Seminari de Topografia antiga (SETOPANT)

Protohistòria de la Mediterrània occidental

Arqueologia romana i tardoantiga

**Publicacions** 

Projectes en curs

**Projectes finalitzats** 



## Membres

IP: Dr. Josep Maria Macias (ICAC) i Ramon Járrega (ICAC)

Josep M. Puche Fontanilles (ICAC)

Karen Fortuny Mendo (ICAC) Òscar Caldés Aquilué (ICAC) Maria Rueda Prunell (ICAC) Gilbert Frigola Olives (ICAC)



La **ceràmica d'època visigótica** en el mediterràni hispànic. Un estudi comparatiu entre el nort de la Carthaginensis i el sud de la Tarraconensis (475-713 d.C.)

Estructuració del territori, patrons d'assentament i articulació del **sistema de** *villae* **a l'ager Tarraconensis** entre el període tardo-republicà i l'època imperial

Articulació i projecció de **l'espai litúrgic hispà**: el culte cristià i els seus escenaris físics a l'antiguitat tardana

ARTISAN – Creando narrativas en la arcilla: Desentrañando cambios económicos y socioculturales a lo largo de los periodos visigodo y omeya en la península ibérica oriental (PID2023-153086NB-I00)

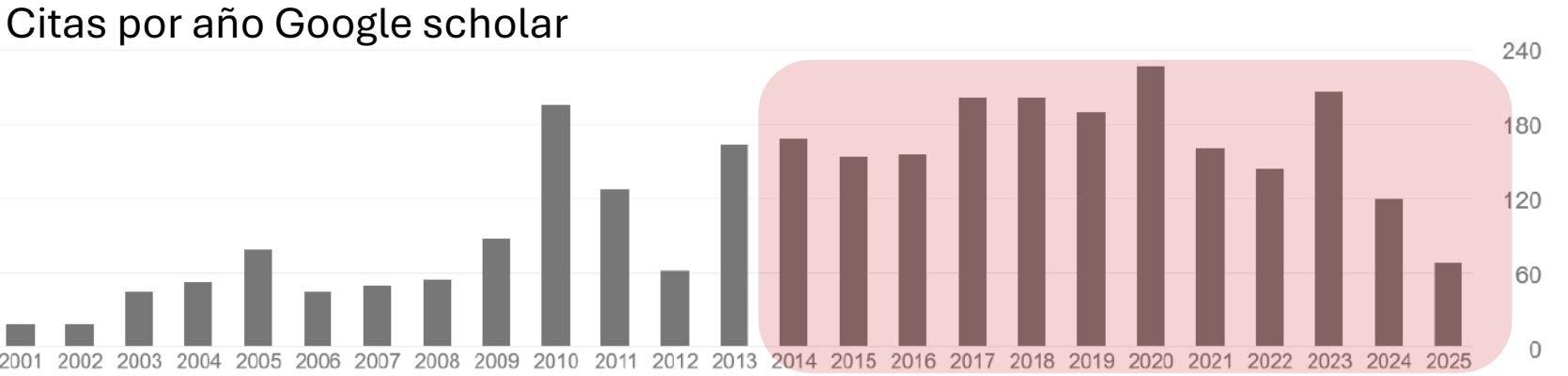
Excavacions a l'entorn de la Catedral de Tarragona (III Fase) (CLT009/22/00102)

Estudi i difusió de la **vil·la romana** de Mas dels Frares i el seu entorn (Constantí, Tarragonès), II Fase (CLT009/22/00033)

Parámetros analíticos-evolutivos de las **técnicas constructivas** del noreste de la *Tarraconense* en época tardoantigua: homogeneización, criterios de representación y calibración (I+D HAR2015-64392-C4-2-P)



- > Artículos en revistas ...
- > Libros
- Actas congresos, seminarios ...
- Conferencias ...



## Repositorios públicos:

Recercat.cat --- Portal Recerca Catalunya

## Repositorios privados

> Academia.edu: 25.020 descargas

Researchgate: 19.488 descargas

## Calibración impacto:

Dialnet métricas: 402 citas

Google Sholar Citations: 3.100 citas

> Scopus: 106 citas

> Web of Science: 70 citas





## Publicaciones: difusión científica tradicional



- 2 Principal
- Publicacions
- Projectes en curs
- Projectes finalitzats
- Activitats cientifiques

  Activitats de difusió i
- transferència
- Docencia Docencia

Curriculum Vitae

#### Josep Maria Macias Solé

Investigador (R4), Àrea de recerca. Membre, Equip de recerca: Arqueologia Cristiana i de l'Antiguitat Tardana.

Camps d'expertesa: Urbanisme. Antiguitat tardana, Arqueologia de l'arquitectura, Gestió i difusió del patrimoni arqueològic. Codi ORCID: 0000-0002-1146-7015

mmacias@icac.cat

+34 977 249 133 (ext. 211)

#### **Publicacions**

Macias, J. M.; Alejandre, F. J.; Ribera, A. V., "Datación radiocarbónica y constructiva del palacio civil del Pla de Nadal (Riba-roja de Túria, València)", Saguntum, 57. .

ARTICLE EN REVISTES INDEXADES | 2025

RECERCAT (PDF)

Recerca

Publicacions

relacionades

monedas dal vertedero

@ Calden Aquillan, Onner, Gutterrea.

serdosmigno del Claustro de la

Cenetral de Tarragona (s. V. d.C.). Rentos Numuros, 206, p. 3745, .

# Fuctor 5 M.; Buill, E.; Costo

Jerest, A.; Nistres, J. M.; Nistres

Trom the point cloud in

Californi Meniogo; 35.

ARTICLE EN REVISTES INDEXADES

Andres, A.: Moreno-Garcia, D.

knowledge. Generally, metrics and construction of the closest of the

Cathedral of Tacnegoros', Digetal

Applications to Archaeology and

# Gatterner Stein, Harry Multing

Virgili, Andreu, "Jan sucutella

si terrelles de relienzo descreto i la prinstrucció de la Capelle de Sontie

Maria Nagdaleria del Caustre de

imagripció flandacional de 1536".

Rodis, Journal of Medieval and

Post-Medleval Archaeology, 7, p.

@ Colden Aquittue, Oc. Gotternez-Sette, 1., 2024, "Drives from the

https://doi.org/10.34810/dete1400 CDBA Repositori de Opiles de Reposito. L

Ganerrez Soto, Braier, Macies Sole, Bosep Mieria; Bodriguez

"Coursies from the clother of Terrogona Cathedral", https://

Martoresi, Francisco, 2024,

dos.org/10.34600 dese1335, CDRA Reposition de Dedes de

B RECERCAT

in Caredral de Tarrogona: un

contrat come a través de la

ARRICLE EN REVERES INDEXADES

DATASET (2004)

Receptor 2

DATASET 2004

ARTICLE EN REVISITES BECERÇÃO (POR-

Linia de Recerca: Arqueologia de la ciutat antiga

/Profecter

Rodriguez, F.; Macias, J. M., "Los llamados dolia tardoantiguos: una aproximación desde Tarracofna) (siglos V-VIII d.C.)" a Rueda, M.; Járrega, R., Dolia ex Hispania: els dolia a les provincies d'Hispania en época romana. Estat de la qüestió i perspectives, Trama, ICAC, Tarragona, p. 187-199.

CAPÍTOL DE LLIBRE | 2024

RECERCAT (PDF)

Puche, J. M.; Buill, F.; Costa-Jover, A.; Macias, J. M.; Nuñez-Andrés, A.; Moreno-García, D., 'From the point cloud to knowledge. Geometry, metrics and construction of the cloister of the Cathedral of Tarragona', 'Digital Applications in Archaeology and Cultural Heritage, 35.

#### ARTICLE EN REVISTES INDEXADES | 2024

Abura, J.; Mischka, C.; Macias, J. M.; Ribera, A. V.; Rosselló, M.; Caldés, O., "Prospección geofísica en la ciudad tardoantigua de Valencia la Vella (Riba-roja de Túria, Valencia, España) en 2023", Madrider Mittellungen, 65, p. 272-284.

ARTICLE EN REVISTES INDEXADES | 2024

RECERCAT (PDF)

Macias, J. M., "La ciudad de Tarracona en época visigoda", *Urbs Regia. Los Origenes de Europa*, 7, p. 82-91.

ARTICLE EN D'ALTRES REVISTES | 2024

RECERCAT (PDF)

Més publicacions

### Excavacions a l'entorn de la Catedral de Tarragona (III Fase) (CLT009/22/00102)



Datesettigadoria principalite Josep M. Merina i Andria u Multur Molgar (METACAC) Lawestigadoria principantive Kirica Armestianu (MACL, Oscar Calchie, Albert Canaci (IRI), Steggis-Coli (MACL, Oscar (IRI), Albert (IRI), A

Pinançament: Departament de Cultura - CNC, Projecte Qualiforizad (C. 1000 (2)1000 (2) Report. Commi especific arafa Reposi Apartament de Tarragona, Subvenció de Piquatument de Tarragona, Muyes Biblir Tarraponatos, Ciençoni especific arafa el MOST.

III fase del projecte de recerca desenvolupar a l'area parrimonial de la Caredral de Tarragona (veure Fase I Fase II). Les actuacions arquientògiques d'aquesto fase estan coordinades amb el Pla Estratègic del Museu Diocesa de Tarragona I preseuen la Incorporació de nous espais museográfics en el conjunt partimonial de la Catedral.

La Seu merropolitana medieval és la continuadora de les antigues práctiques religioses desenvolupados en el resinte sucre de cutte a l'emperador August, part fonamental del complex orbanistic del Conditium Productica Hispanias (Cistorios, Feditacaldo del gual va concioure durant la dinastia titavia. Posteriorment, la cristianització de l'Imperi roma i la cristi sociocommintea caracteristica de l'Amriguitar Tardiana causaren la transformació d'aquesta gran obra integrada per una plaça sagrada de dues bectares i amb dos emples. El resultat d'aquest procés fa que el recline de la Catedral tarragnolina constitució un dels militors exemples carappeas dels processos de cristianització de les ciutats classiques. En aquest cas, en relacida a la construcció de l'episcopi visigui L, ja en el segle XII, de la seu metropolitana dels committs caralans.

Aquest projecte cerca vestigis d'aquestes époques i construeix un rein discrinicfonamental per la comprensió d'un dels millors exemples de ciutat històrica.

Cathedral of Tarragona by ICAC

on Sketchfab

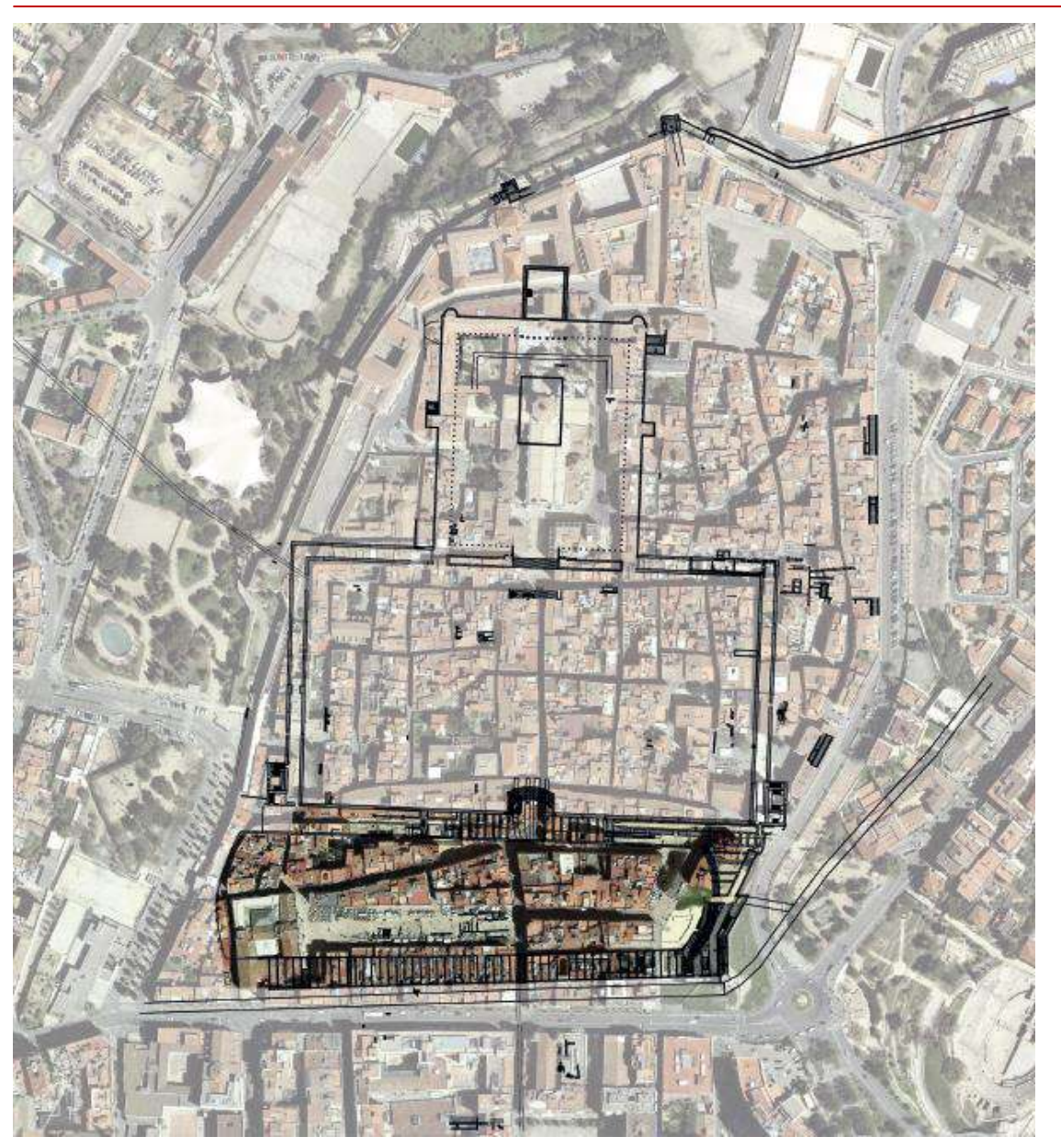
Projecte finançar pei Departament de Cultura de la Generalitat de Catalunya (CLT009/C2/00102), l'Ajuntament de Tarragona, l'empresa Repsoè i el Museu Biblic Tarragonesse.

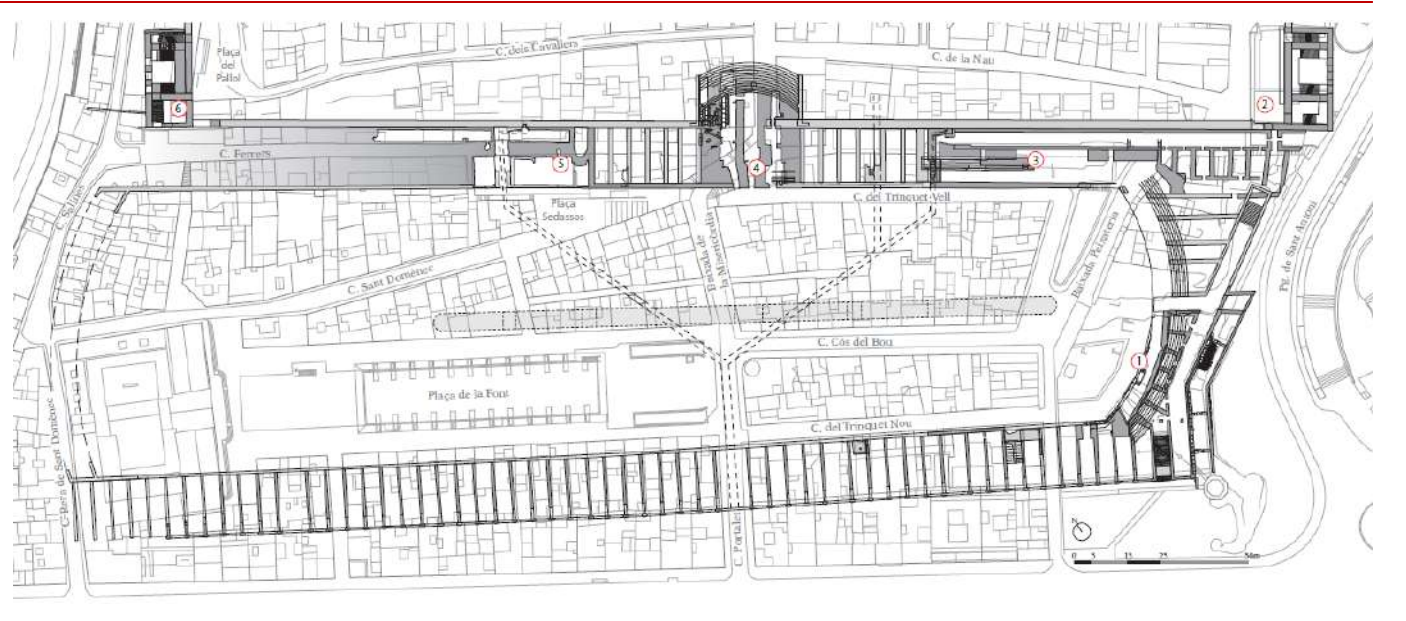
TORNAR ENRERS

#### A Macias Solé, Josep Maria





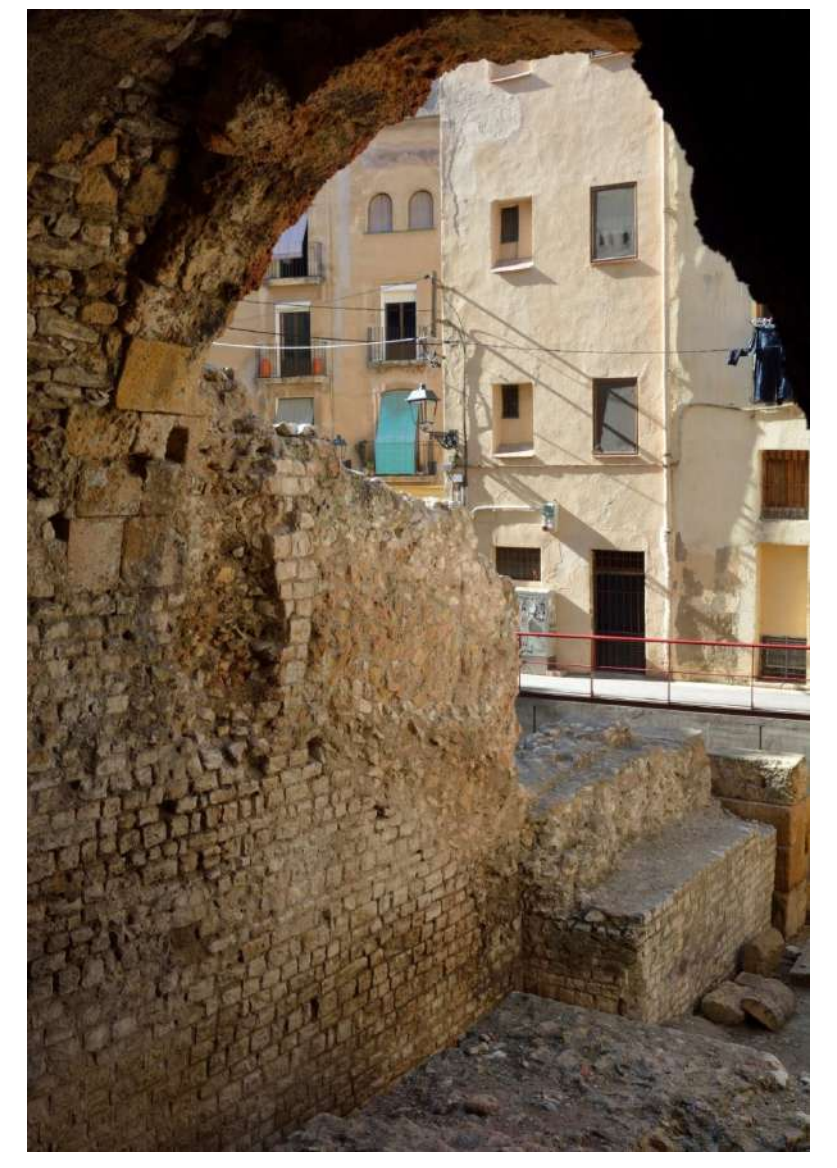






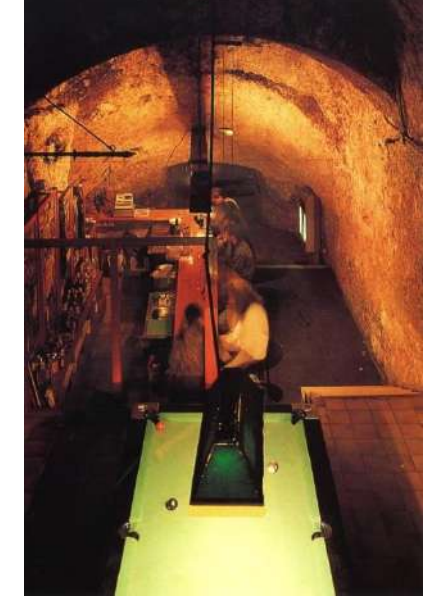


# Una realidad cotidiana









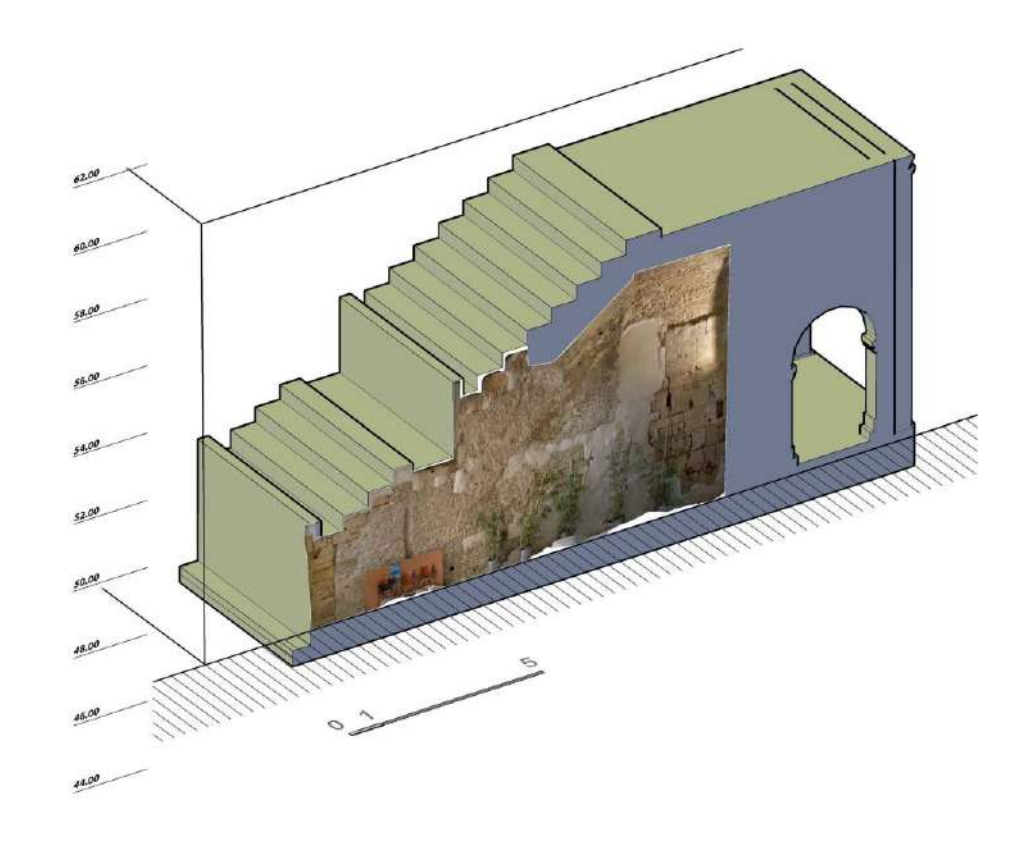






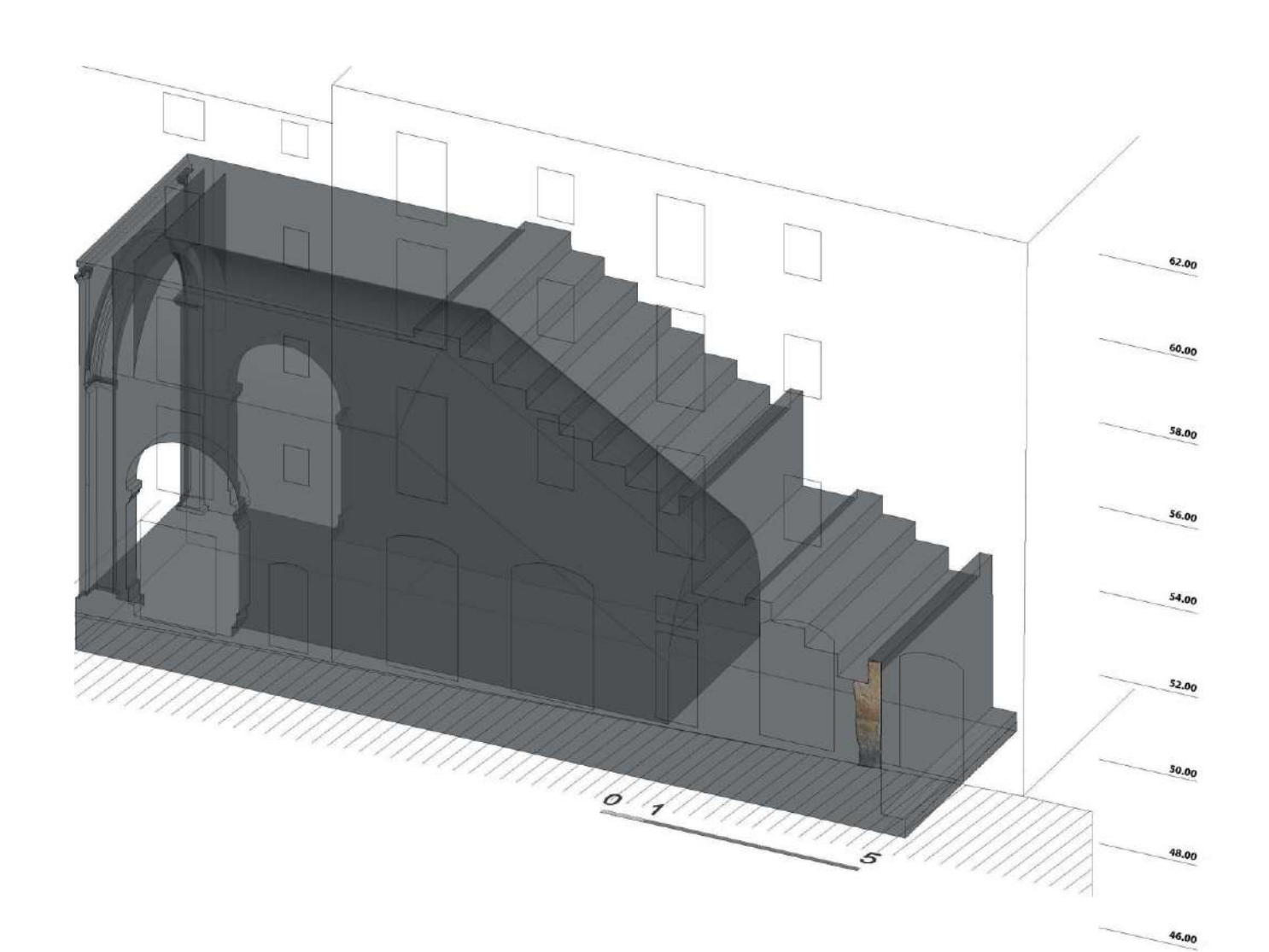
# Una realidad cotidiana difícil de identificar







# Una realidad cotidiana difícil de identificar

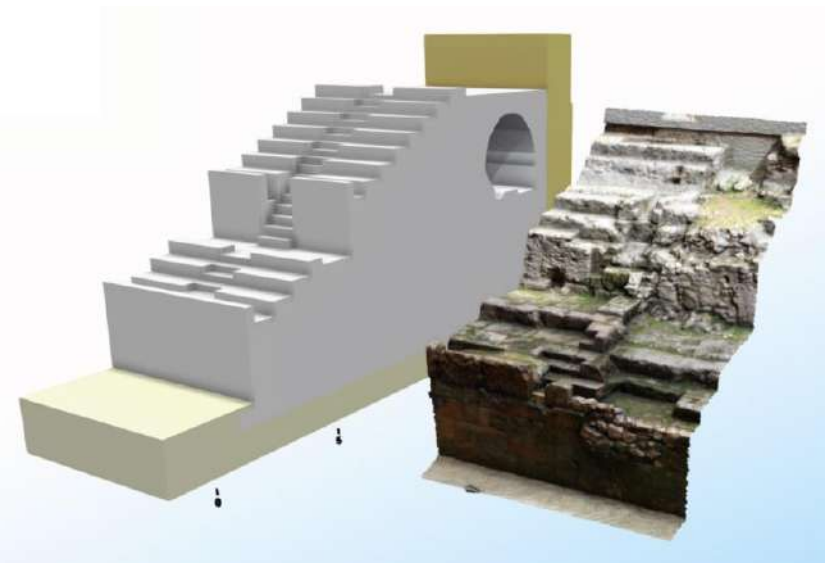


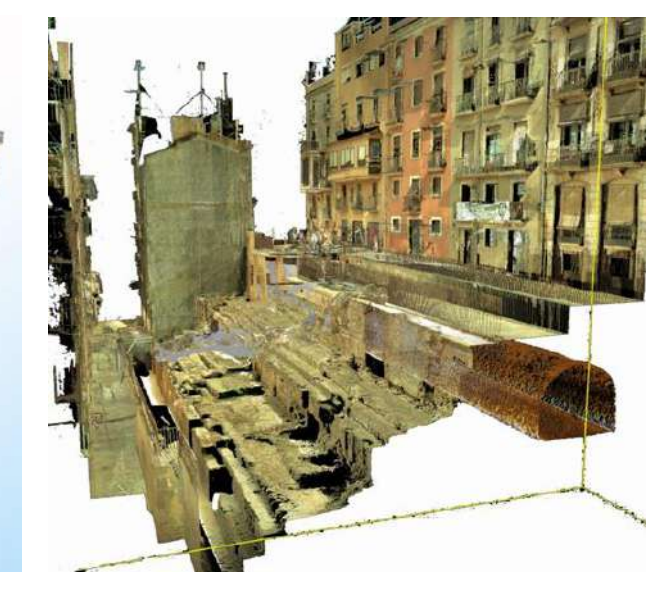


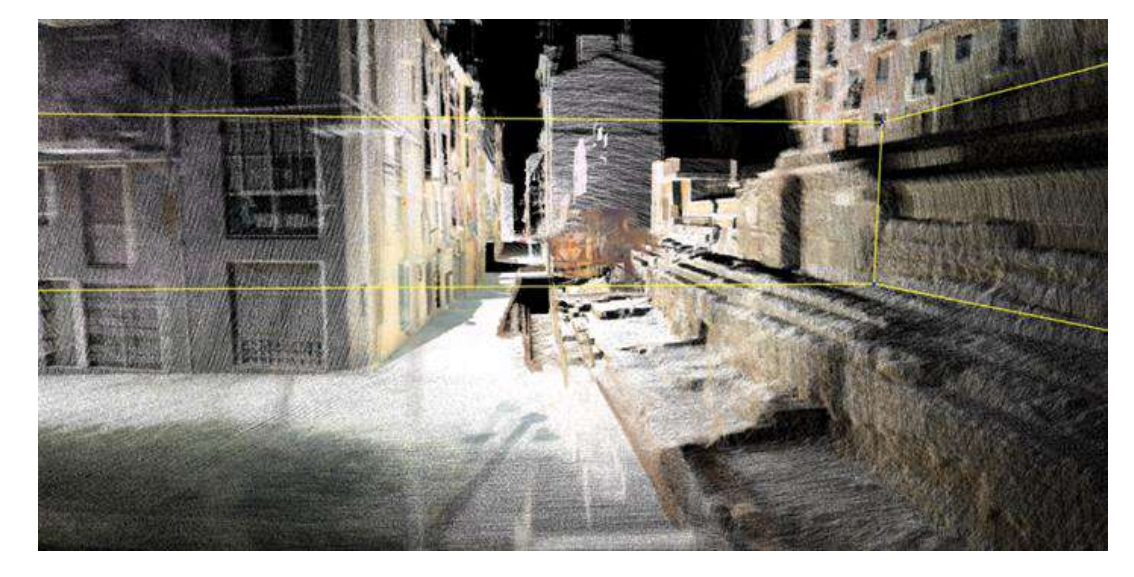




# Una realidad cotidiana difícil de identificar

















Herramienta: Pegasus BackPack

• Lectura: 600,000 puntos / segundos

• Distancia: 50 m.

Fotografía: 4 cameras at 4MP

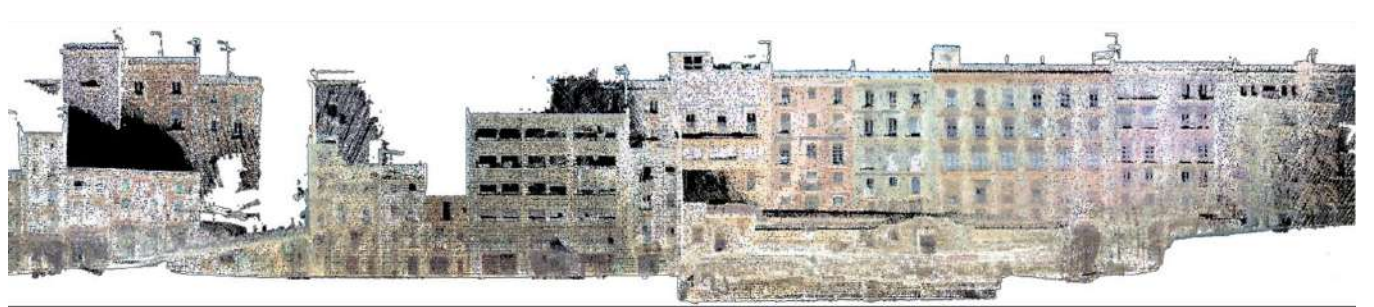
Área trabajo 360° x 200°.

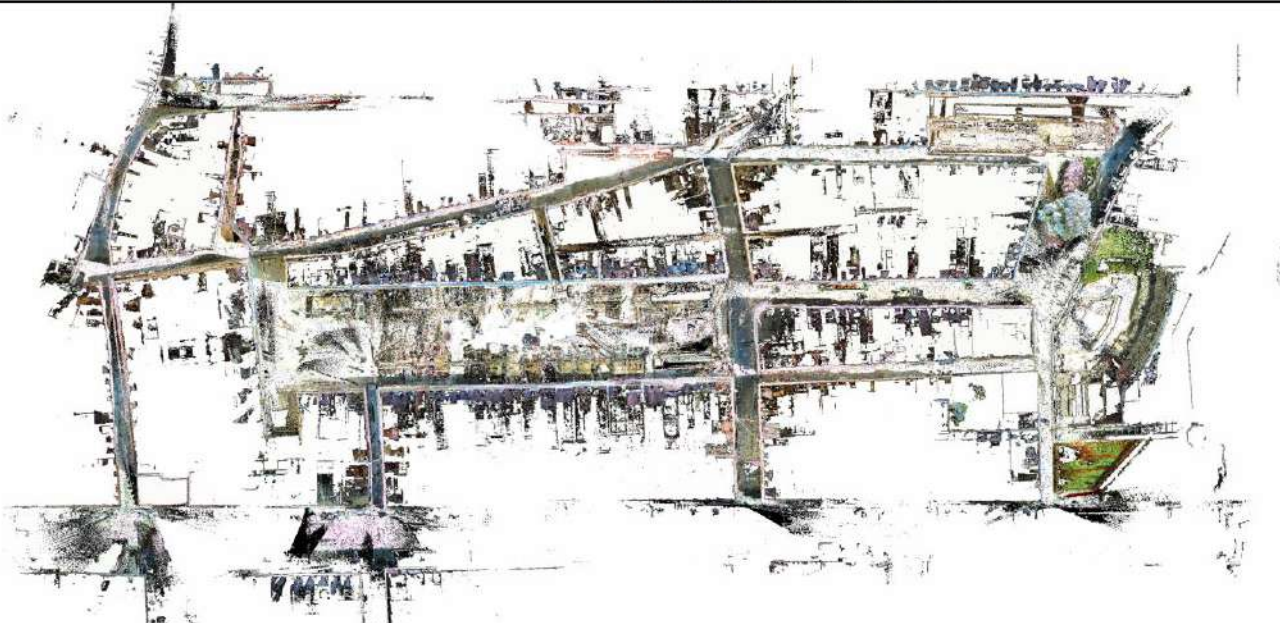








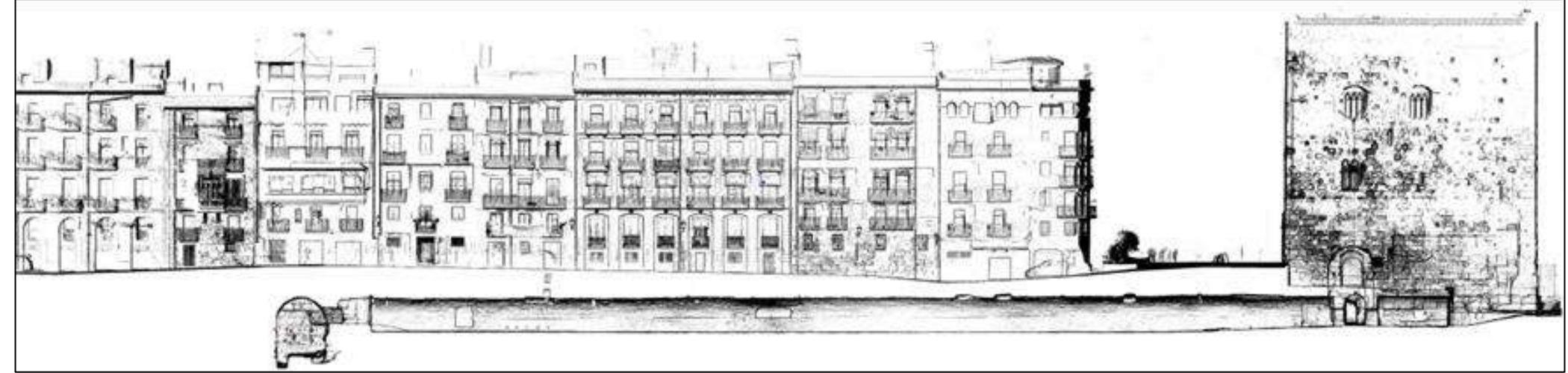








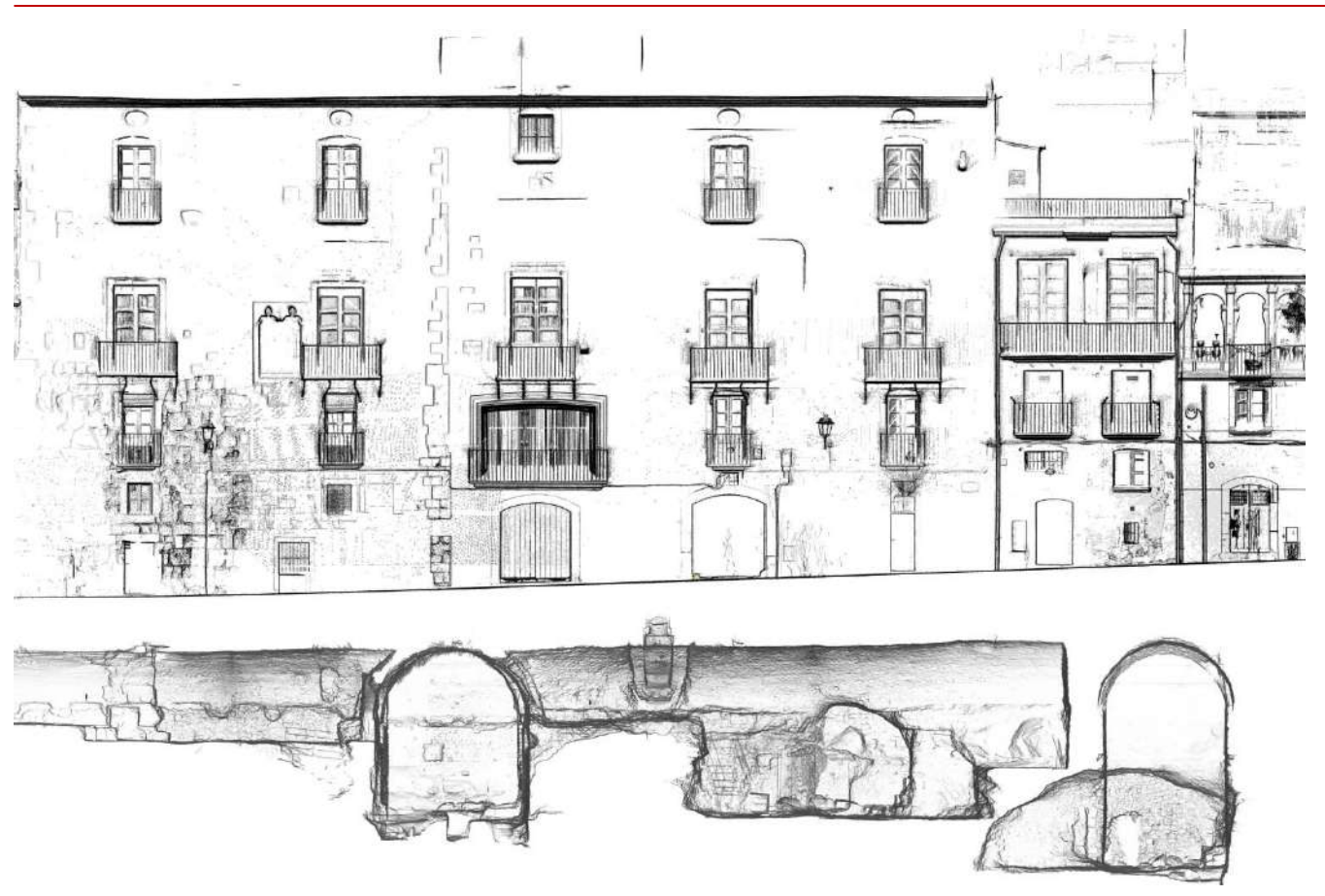




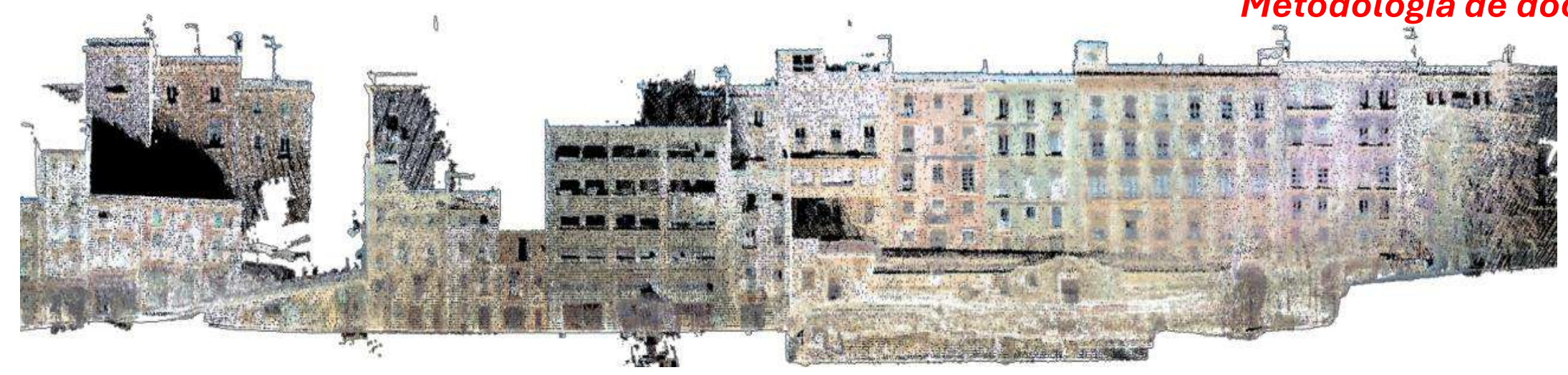








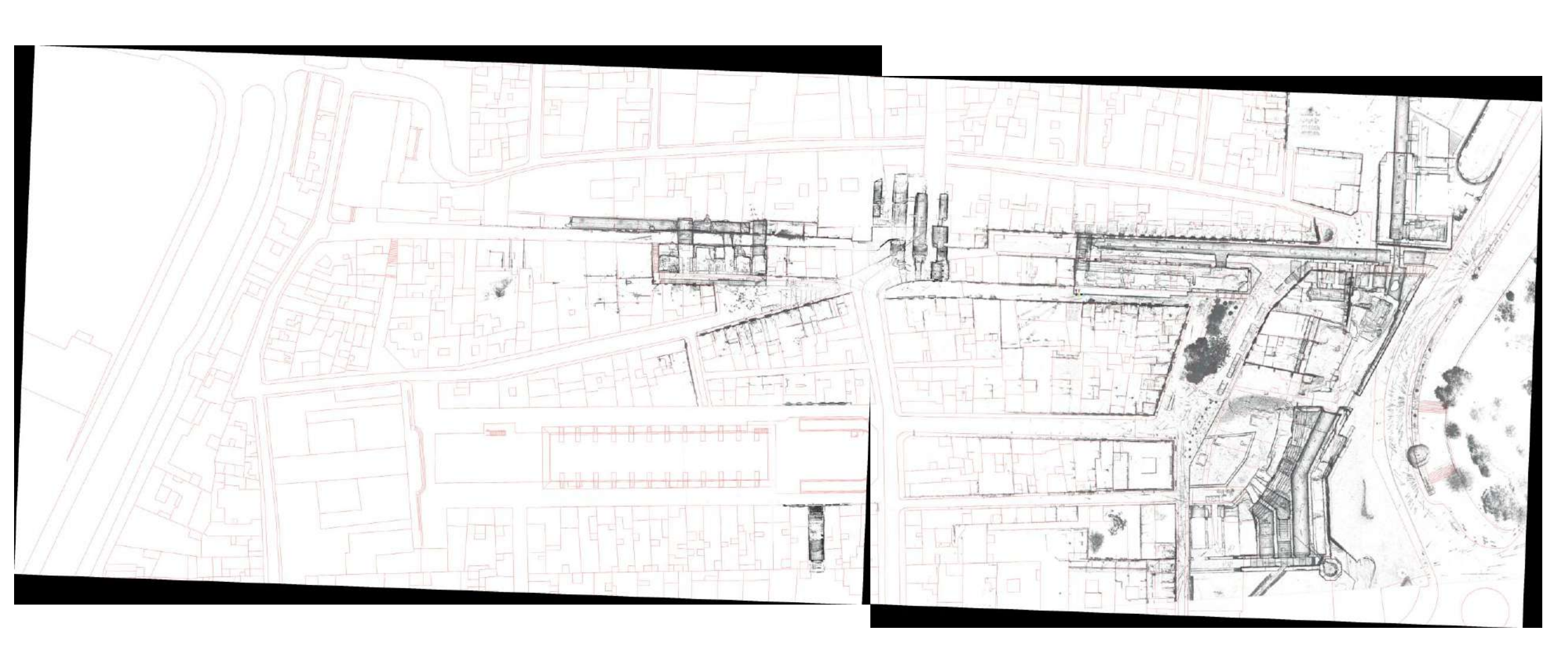














# EL CIRC ROMÀ DE TARRAGONA. MONUMENT I CIUTAT EL CIRCO ROMANO DE TARRAGONA. MONUMENTO Y CIUDAD THE ROMAN CIRCUS OF TARRAGONA. MONUMENT AND CITY JOSEP MARIA MACIAS SOLÉ JOSEP MARIA PUCHE FONTANILLES PAU SOLÀ-MORALES SERRA JOSEP MARIA TOLDRÀ DOMINGO IVAN FERNÁNDEZ PINO ANNA FERRÉ BOLTÀ JOSUÈ ANDREU AGUADÉ

Institut Català d'Arqueologia Clàssica



Difusión tradicional





## Difusión tradicional

18 JOSEF MANNACAS, JOSEF MAN RICHE JOLDE JOLANDAGES, JOSEF MANN FRANCESCON MAN FERSE JOSEF MORE

de la meitat de la península libérica: registres censals i cadastrals, tresorera i tota l'estructura fiscal, judicial i militar. Esuage de Tarraco deu mela a Femperador August, qui bi romanque gairché durant dos anys. La recersa arqueológica situa en aquesta época el principit de la monumentalització de la ciutat.

El centre de la colònia en la part baisa inicià processo de trandromació del Fourn colonial, la construcció del teatre més unes possibles termes publiques i la reforma de la zona portunist i de part de fentramat vara. En canvi, no en asbem ren de la residencia oficial de l'emperador, tot i que hem de supesar que a la Part Alta hi residie una lamplia seu cortecana i una administració imperial provisional. Les fonts hatóriques nomes en relatien que August va rebre a Tarraco unibatisades de l'Illa de Lesbos i de Illadia, més altrus representants del rei dels parts. Però de ben segur que la cutat rebra moltes més ambaixades. Curiossament, en aquest remomen, l'area del baixades. Curiossament, en aquest remomen, l'area del Circ se'ns presenta com un espai diàfan, sense urbanitzar, con només destaquen les restes d'una terrisseria i la recuperació d'un extene conjunt de terracotes arquitectòniques decoratives de gran qualitat (Gebelli 2017; Lópec i Priol 2008, respectivament).

Daltra banda, estudis arqueológics recents han demostrat l'évisència d'un grue edifici que predudiava la transformeció urbanística posterior (Vinci et al., 2014a). La coneguda volta flarga i altres voltes perpendiculars, juntament and un accés monumental fet de carreus, evidencien un gran complex que postteriorment fou aprofitat en la construeció del Circ. Tautí a sevu cronológis precisa com la funció d'aquest recinte, amb accés fore actuta midjançant una porta oberta a la muralla, constitueixen encara avui una incògnita.

Un cop traspassat August s'inicià la transformació del recinte superior que representa la monumentalització definitiva de l'acròpolis romana, els vestigis de la qual han estat básics per a la inclusió de Tarraco en a World Heritage Lier de la UNESCO l'arry 2000. Aqui ressallem l'edificació del recinte cagent dedicant al desaparegat emperador i construit en ejecca del sun occeasor, liber. Les rustre da diquest temple, aixecat a partir de l'any 15 dC, encara es conserven sota la Catedral i la sexe edificació establi el punt de referència visual i axial, a partir del qual es duqueren a terme els gruns projectes posteriors. Fins i tot, segle després, la seu medieval segui l'ex de simetria d'aquest temple comà, I, trais avall, les laquess dels números parells del currer Major s'han superposat a aquest ex (cfr. Macios et al. 2012; 2014).

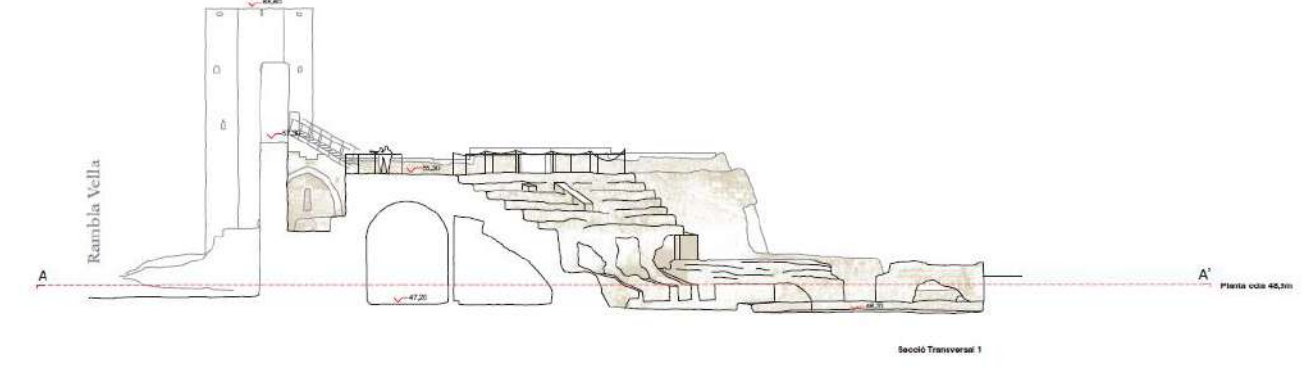
Aquest primer projecte socre fou ampliat per un altre de més ambieciós i eseculat durant la segona meitat del segle i dC. La nova plaça religiosa assolí unes 2 hectàrees de superficie i s'edifica el voltant de l'antient temple d'Aquest, que es va mantenir en peu mentre que es construí un segon temple a l'extrem l'antient de l'action de l'action de l'action de l'action per l'action de l'action de l'action de l'action mentre que es construí un segon temple a l'extrem nord del recinte dedicat a la dinastia dels emperadors flavis. Delimitant la plaça s'alçà un fustués portic decorat a imitació del pórtic del fórum d'August a Roma.

A una cota inferior es construi la gran plaça de representació de la capital o forum provincial de sis hectàrecs de superfície i, als seus peus el Cite romà, d'unes quatre hectarecs. Aquest darrer recinte l'acia separava la citatat imperial de la resta de lo urbs. El gran projecte presidia Tarnoco tot desenvolupant un gran complex urbanistic en terrussen que seçuia els models escenográfica que ja s'havien experimentat a l'alias. El referent més proper el tenien en el complex imperial del Palati i el Cire Maxim de Roma.

La Prouincia Hispania Citerior era una provincia sota control directe de l'emperador i la acròpolis de l'arraco, ocupada militarment des de l'arry 218 aC, no havia estat mai urbanitzada amb carrers i casen privades. Així fou possible desenvolupar ràpidament



Figura 7. Vista aèria de la Capcalera del Circ. Muralla i pati del Comi. Vista aèrea de la Cabecera del Circo. Muralla y patio del Comi.



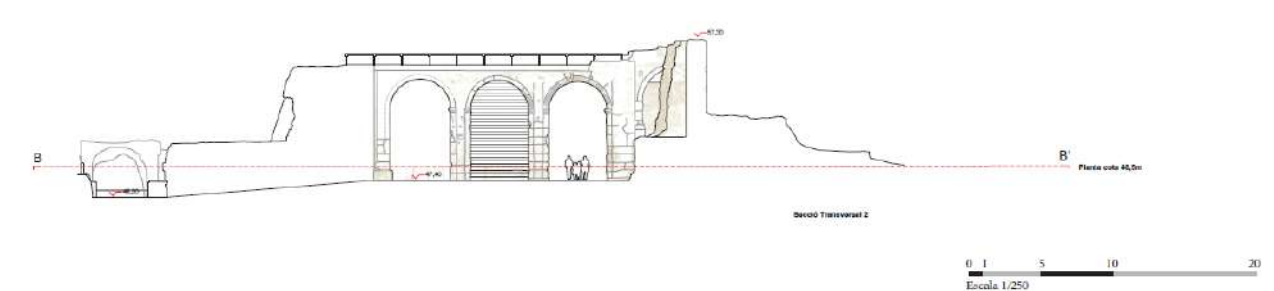
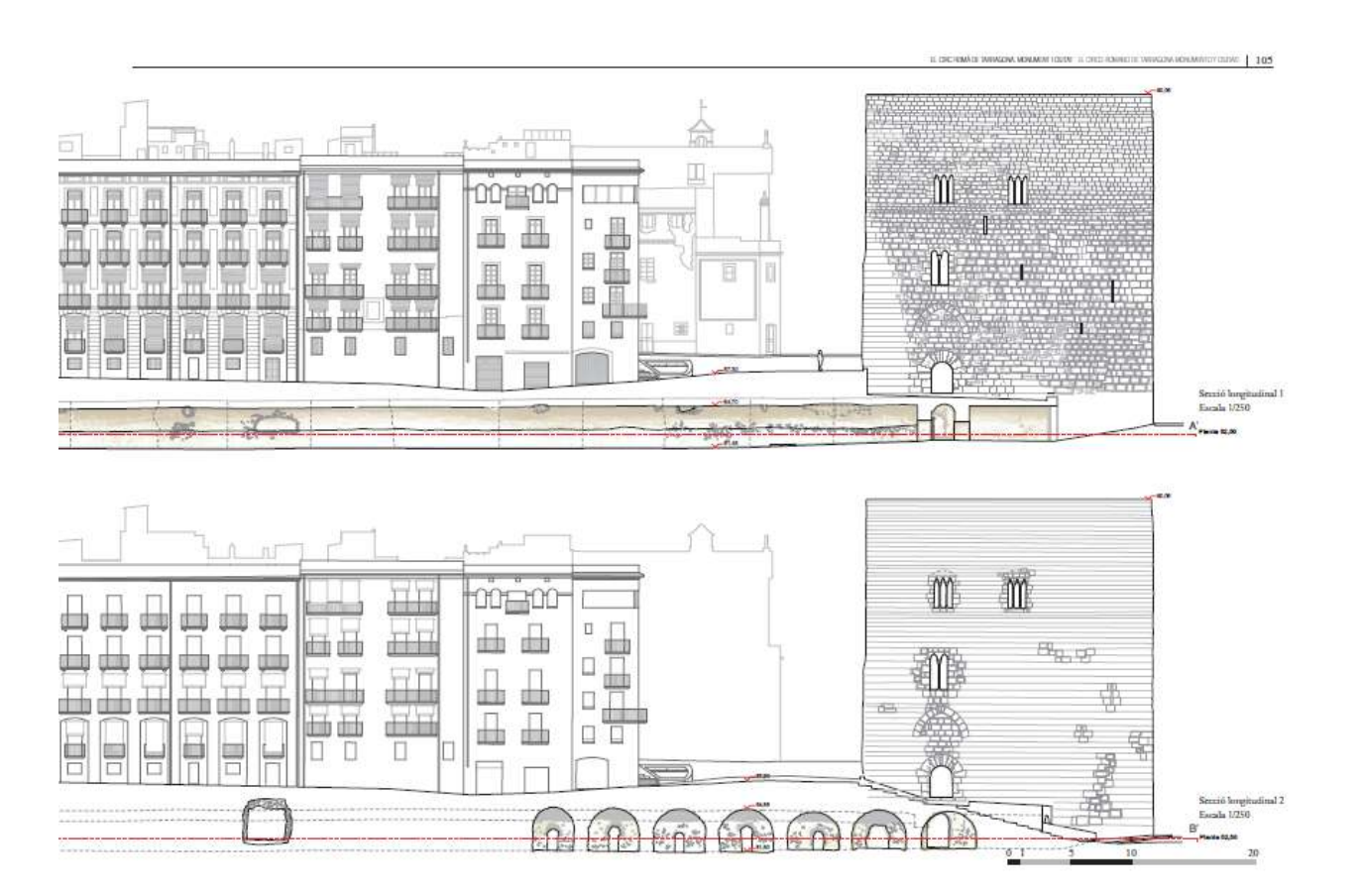


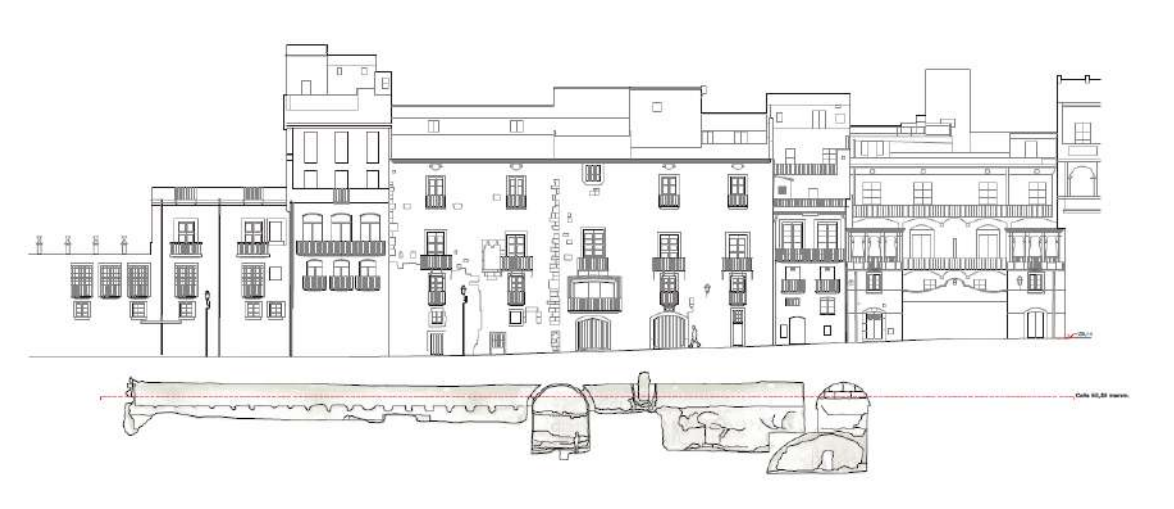


Figura 6. Restitució de la façana del Cire en la Rambia Vella actual (Macias/Muñiz 2003). Restitución de la fachada del Circo en la Rambia Vella actual (Macias/Muñiz 2003).

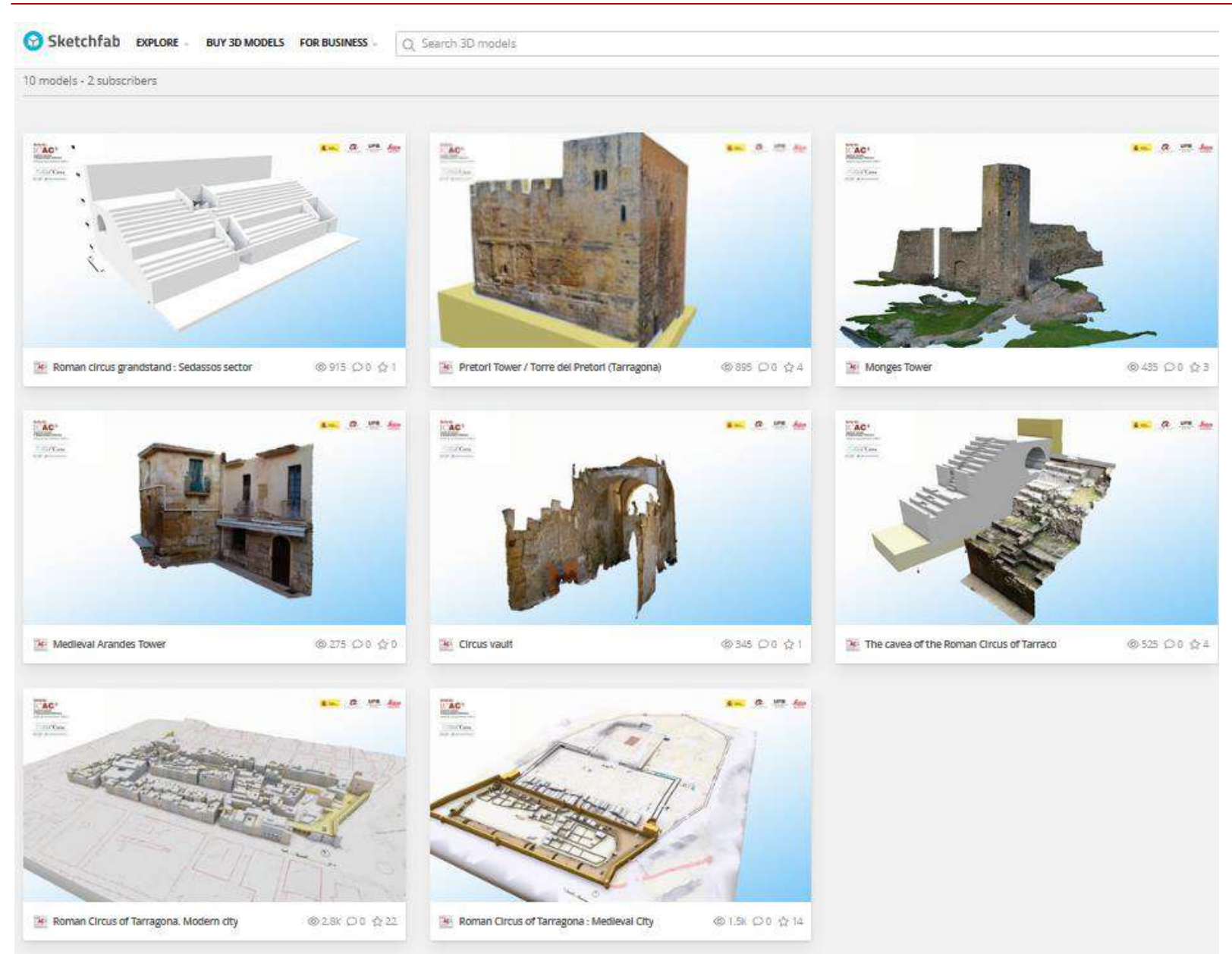


# Difusión tradicional



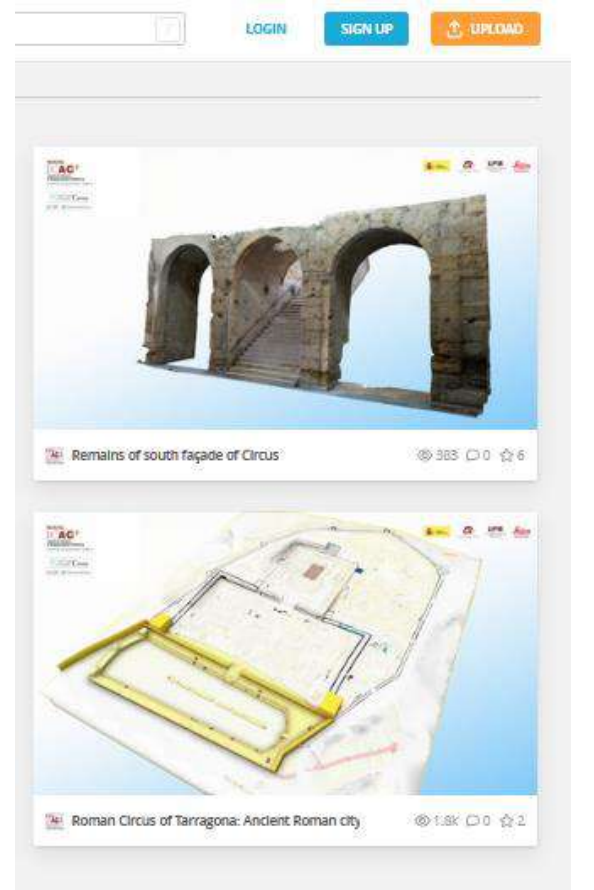






# Socialización de la investigación

https://skfb.ly/oyRW6





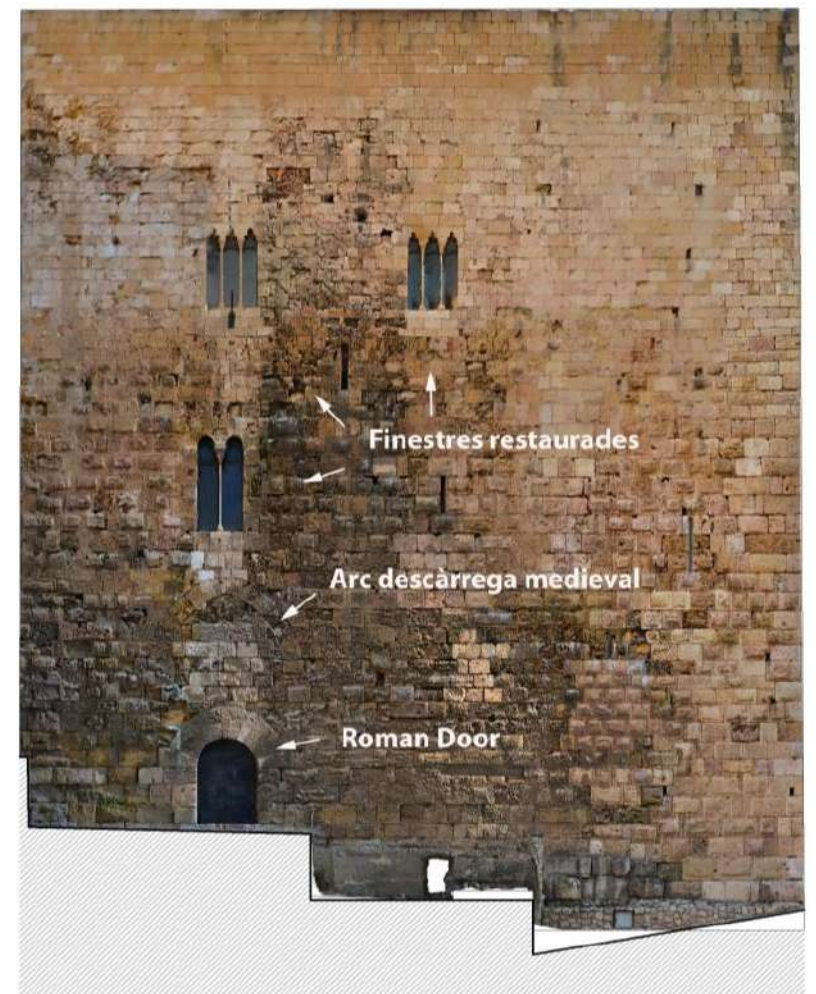
# Socialización de la investigación









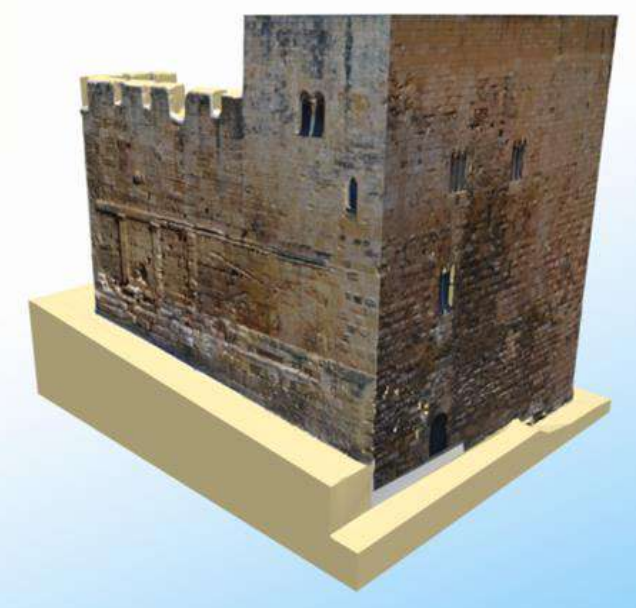




# Socialización de la investigación









# Socialización de la investigación, 9.900 consultas

# Roman Circus of Tarragona. Modern city

3D Model



Institut Català d'Arqueologia Clàssica (ICAC) PREMIUM



FOLLOW

+ Add To

Combed

Triangles: 451.9k 9 Vertices: 226.1k More model information

This Circus is one of the best preserved of Roman Empire. Exceptionally it was built within city walls and has determined medieval urbanism of Tarragona.

Scientific project: ARREL- Recercaixa 2015

See Roman Circus

See medieval walls in Roman Circus

DOWNLOAD MODEL https://doi.org/10.34810/data623





# Digitisation of the Roman Circus of Tarragona. 3D point clouds

Version 1.3



Macias Solé, Josep Maria; Puche Fontanilles, Josep Maria; Toldrà Domingo, Josep Maria, 2022, "Digitisation of the Roman Circus of Tarragona. 3D point clouds", <a href="https://doi.org/10.34810/data166">https://doi.org/10.34810/data166</a>, CORA.Repositori de Dades de Recerca, V1

Cite Dataset -

Learn about Data Citation Standards.





## Difusión de los metadatos







## Repositori de COR/ Search -User Guide Dades de Recerca circus (Roman arena), planimetry, 3-D laser scanning, classical archaeology, Roman (ancient Italian culture Keyword @ or period), Tarragona, circ, 3-D laser scanning, arqueologia clássica, romá, Tarraco Related Publication @ Bosch, F., Bravo, P., Macias, J. M. (2003), "Excavacions arqueològiques en la Boqueria Medieval de Tarragona' II Congrés d'Arqueologia Medieval i Moderna a Catalunya (Sant Cugat del Vallès 2002), Sant Cugat del Vallès, 318-324.handle: 2072/250488 License/Data Use Agreement Files Metadata Terms Change View Table Tree 00\_readme.txt (12.0 KB) Planta circ i ciutat.dxf (2.1 MB) Planta Circ Modulacio.dxf (12.5 MB) Planta Circ.dxf (6.9 MB) Plumilles.ods (4.8 KB) SECCIONS\_GENERALS\_PART\_ALTA\_TGN.dxf (23.4 MB) ▼ > PLANIMETRIA \_TOTAL O\_PLANIMETRIA-TOTAL 3.dwg (278.3 KB) ▶ ■ 1\_Capcalera-sud ▶ ■ 2\_Capcalera-nord ▶ ■ 4\_Baixada-misericordia ▶ ■ 5\_Sedassos ▶ ■ 6\_Antiga-audiencia ▶ ■ PlotCfgs

## Difusión de los metadatos

Arxius		
Canviar la Visualització	Taula	Arbre
00_readme.txt (12.0 KB)		
Planta circ i ciutat.dxf (2.	1 MB)	
Planta Circ Modulacio.dx	f(12.5 MB)	
Planta Circ.dxf (6.9 MB)		
Plumilles.ods (4.8 KB)		
SECCIONS_GENERALS_	PART_ALTA	_TGN.dxf (23.4 MB
PLANIMETRIA_TOTAL		
<b>≧</b> 0_PLANIMETRIA-TOT	AL 3.dwg (2	78.3 KB)
▼ □ 1_Capcalera-sud	and the state of t	
1_Capcalera-sud.d	wg (1.1 MB	
▶ Æ Escanejos		
▶ Æ Fotos-Alcats		
<ul> <li>▼ 2_Capcalera-nord</li> </ul>		
2_Capcalera-Nord.	dwg (1.5 M)	Β)
<ul> <li>4_Baixada-misericore</li> </ul>	dia	
4_Misericordia.dw	g (709.9 KB)	
▼ ⑤ 5_Sedassos		
5_Sedassos.dwg (2	2.1 MB)	
→ 6_Antiga-audiencia		
6_Audiência.dwg (	1.3 MB)	
➤ PlotCfgs		
DWG To PDF.pc3 (1	.2 KB)	

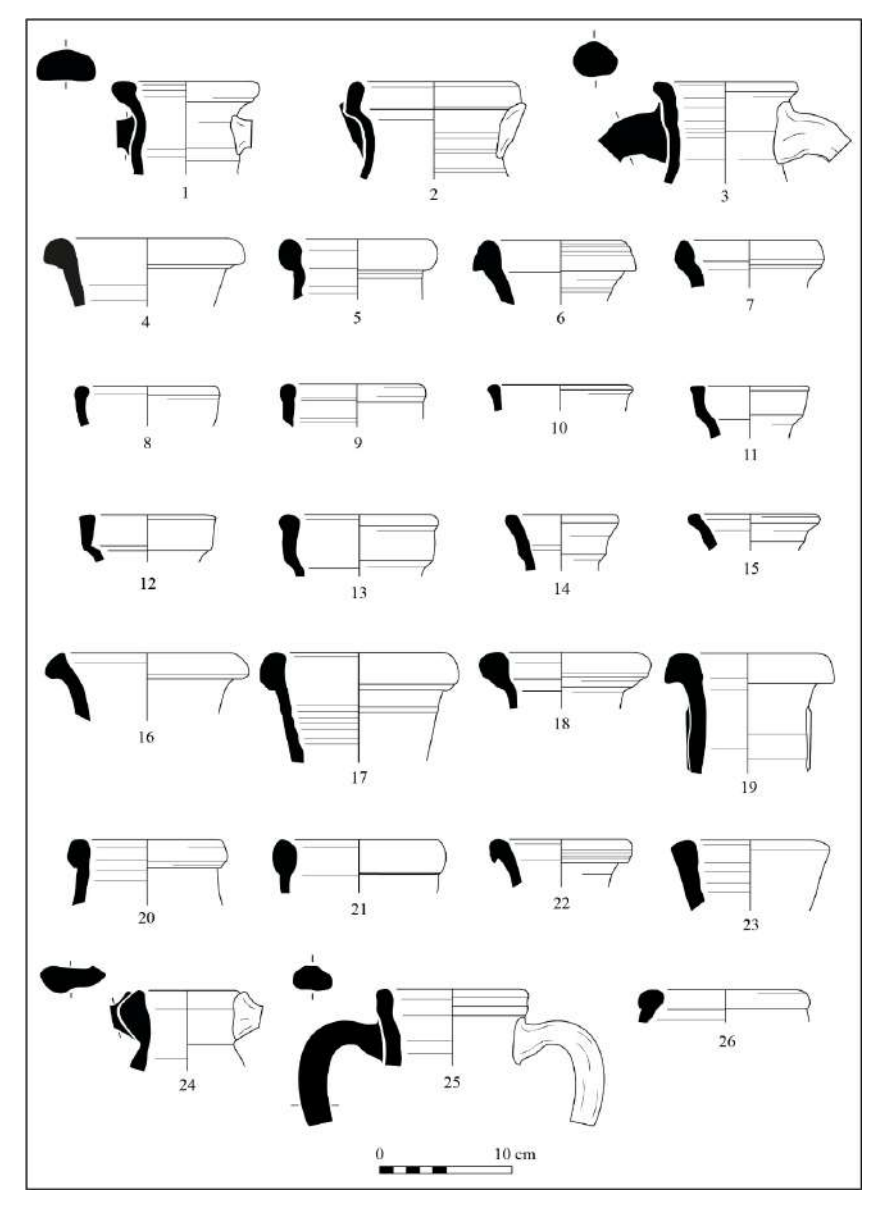














Journal of Archaeological Science: Reports 48 (2023) 103837



Contents lists available at ScienceDirect

#### Journal of Archaeological Science: Reports



journal homepage: www.elsevier.com/locate/jasrep-



Sorting out problems with Late Roman eastern Mediterranean cooking wares from Tarraco (Tarragona, Spain) combining archaeology and archaeometry

Miguel Ángel Cau Ontiveros a, b, e, b, Leandro Fantuzzi b, Francesc Rodríguez Martorell b, d, Evanthia Tsantini b, Josep M. Macias Solé a

- 4 ICREA, Planning Linia Companya 23, 00010 Barcelona, Spain
- <sup>b</sup> Equip de Recerce Arqueológica i Arqueológica i Arqueológica i Arqueológica de la Universitat de Barcelona (IAUE), Serra Húnter Fellow, Universitat de Barcelona (UE), Bercelona, Soam
- Chereheur Associe, Aix Marsaille Univ, CNRS, CCJ, Aix-en-Provence, France
- <sup>d</sup> Universitat Revive i Virgli, Tarragone, Spain.
  \* Institut Catalia d'Arqueolosia Classica (N.AC). Tarragone, Spain.

#### ARTICLEINFO

Late Roman Cooking ware Provengace Petrography

Torroco was the ancient capital of Hispania Tarraconensis, a Roman province in the Western Mediterranean. It was a strategic enclave and one of the most important ports during the Roman Empire and Late Antiquity. The archaeological record of the city shows a variety of imported products arrived from several regions including a significant amount of eastern Mediterranean wares, amongst which there are fine, table-wares, amphorae, and coarse and cooking wares. This work focuses on the integrated archaeological and archaeometric study of these eastern types of Late Roman cooking wares from the mid-7th century to the early 3th century. In previous works, these products were classified as Aegean and North Palestinian imports. However, for some of these materials a detailed macroscopic study revealed similarities with local/regional products, opening the possibility of regional ware imitating eastern prototypes. An analytical study was carried out, applying a combination of WD-XRF and Optical Microscopy to identify their provenance. The results point to the coexistence of imported eastern Mediterranean wares and local/regional imitations. At the same time, some of the typologies identified as eastern Mediterranean products seem to have been produced locally or regionally

#### 1. Introduction

The city of Tarragona is located on the north-eastern coast of the Iberian Peninsula, between the eastern end of the Pyrenees and the mouth of the Ebro River (Fig. 1a). In the early 5th century, the ancient city of Tarraco became the gateway to the armies of Rome once again, and the last Roman provincial capital in Hispania. By the last quarter of that century, the city of Tarraco(na) was incorporated into the Visigothic kingdom of Toulouse, and then Toledo, but it maintained its political and ecclesiastical role on the north-eastern side. During the Byzantine occupation of the Hispanic southeast in the 6th century, Tarragona was considered the main Visigothic port and one of the leading commercial emporia in the north-western Mediterranean,

Archaeological excavations carried out in recent decades have

confirmed the economic and commercial role of the city, revealing an extensive and dynamic urban agglomeration very close to the port area. known as the 'port suburb', that could have covered and area of 2-3 ha (Macias and Remola, 2010; Lasheras, 2018; Rodriguez et al., 2020), Port service warehouses, suburban donnus, private baths and industrial buildings have been extensively recorded, which in some cases were transformed in the early 8th century (Lasheras and Terrado, 2018; Diaz and Roig, 2016; Lasheras, 2017, 2010; Rodriguez, 2017; Remola and Lasheras, 2018, 2019; Rodríguez et al., 2020; Lasheras and Fortuny, 2021; Lasheras and Rodríguez, in press). Alongside these findings, there was an extensive religious complex of martyr worship (4th to early 5th centuries), which remained in use throughout the Visigothic period (Serra, 1935: 9ff; López, 2006).

As a part of these archaeological records in the western sector of the

E-mail address: macau@ub.edu (M.A. Cau Ontiveros).

#### https://doi.org/10.1016/j.jamep.2023.103637

Received 24 August 2022; Received in revised form 11 December 2022; Accepted 10 January 2023

Available online 31 January 2023

2352-409X/Q 2023 The Author(a). Published by Elsevier Ltd. This is an open access article under the CC BV-NC-ND license (http://crentivecommons.org/licenses/bync-nd/4.0/1.

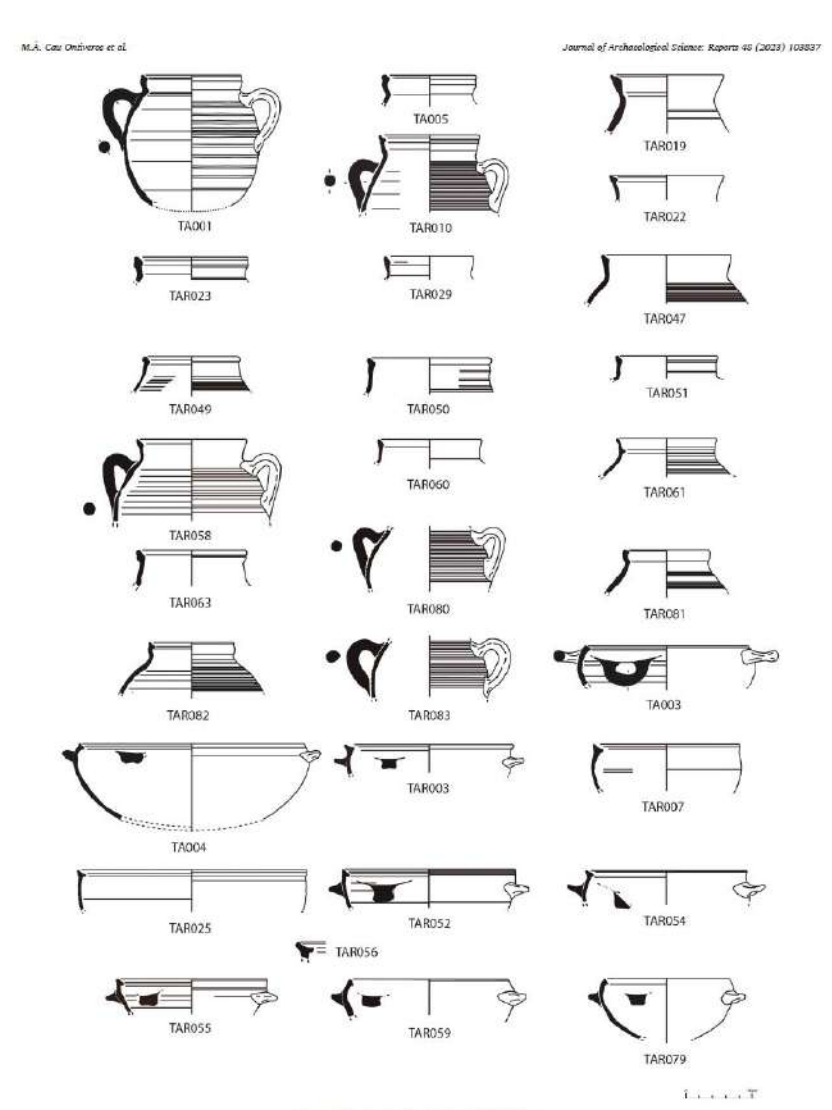


Fig. 3. Illustrations of the analyzed cooking wares.

<sup>\*</sup> Corresponding author.



M.A. Cau Ontoveros et al.

Table 2

Petrographic fabric	Number of camples	Samples
Fabric 1	29	TA001, TA003, TA004, TA005; TAR003,
		TAR007, TAR010, TAR012, TAR019, TAR022
		TAR023, TAR025, TAR029, TAR047, TAR048
		TAR049, TAR050, TAR051, TAR052, TAR054
		TAR055, TAR056, TAR058, TAR060, TAR063
		TAR079, TAR000, TAR002, TAR003
Fabric 2	0	TAR009, TAR024, TAR027, TAR028, TAR059
		TARO61
Fabric 3	1	TAROSI
Fabric 4	4	TB0011, TAR053, TAR072, TAR073, TAR078
Fabric 5	1	TA002
Fabric 6	3	TB001 TAR030 TAR042

similarities with Fabric 1 regarding the main types of inclusions, but shows some important differences (Fig. 4 d-e). The coarse fraction (>0.25 mm), more abundant than in Fabric 1, contains a higher frequency of plutonic rock fragments (granitolds), which, in addition to quartz and alkali feldspar, commonly also include plagiociase. Coarse laths or aggregates of blothe are also slightly more abundant than in Fabric 1. In general terms, the petrographic evidence points to a higher contribution of granodiorite in the inclusions of Fabric 2. There are also minor amounts of micritic lumps, chert and, in some cases, low-grade metamorphic rock fragments, and accessory inclusions of amphibole, epidote, garnet and tourmaline. The matrix in this fabric showed a greyblack to dark brown color in PPL and it is optically active in XP.

Journal of Archaeological Science: Reports 48 (2023) 103637

M.A. Cau Ontiveros et al.

A somewhat different fabric (Fabric 3) is found in one sample. TAROUI (Fig. 4 f). This is a very coarse-grained fabric, with a poorly sorted coarse fraction (0.25-7.00 mm) composed of quartz, alkali feldspar and, to a lesser degree, plagioclase, in addition to granitoid rock fragments and common sedimentary rock fragments ranging from mudstone to sandstone. Even if the nature of the inclusions is broadly similar to those found in the previous fabrics (and especially in Fabric 1), this fabric is clearly different in terms of textural parameters, as the fine fraction (0.25-0.01 mm) here is very scarce and, for this reason, the fabric exhibits a clean matrix, with a brown-orange to the yellowishbrown color in PPL. These features seem to indicate the use of different clayey raw materials than those used for manufacturing the ceramics in Fabrics 1-2.

Fabrics 4 and 5 are characterized, again, by dominant inclusions of quartz and feldspars, but in this case with acidic metamorphic rocks along with occasional volcanic inclusions. In the case of Fabric 4, observed in five samples (Table 2; Fig. 4g), both monocrystalline and polycrystalline quartz inclusions are dominant, in addition to alkali feldspar and plagioclase, and few metamorphic rock fragments containing these inclusions which likely derive from metagranitoids. There are also a few coarse argillaceous inclusions (Whitbread, 1906) that correspond to clay pellets and possible claystone. This fabric also comprises common-few micas (muscovite and biotite) and carbonate inclusions (with few-rare calcareous microfossils), a few cherts, and a few to very rare volcanic rock fragments consisting in an altered fine-grained groundmass that in some cases contain phenocrysts of quartz. It is a medium-grained fabric, with very abundant inclusions from silt to medium sand (<0.50 mm), and lesser amounts of coarse and very coarse

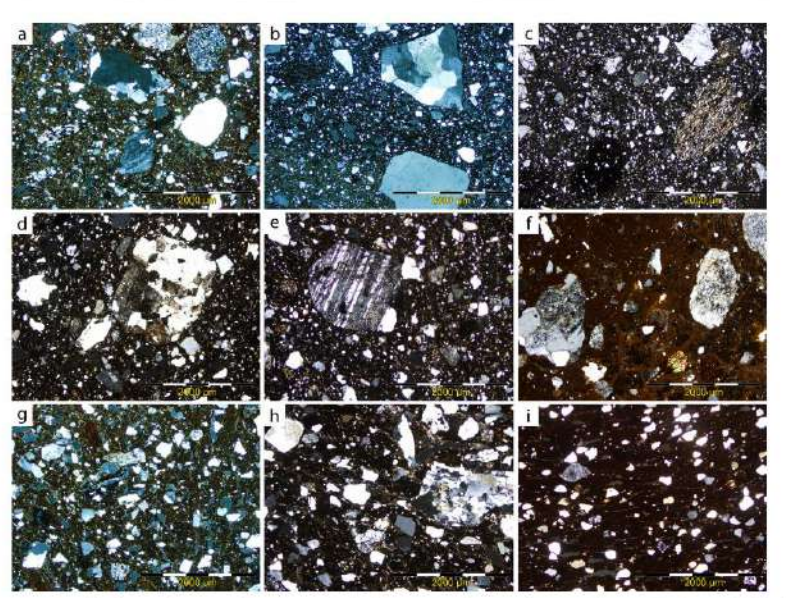


Fig. 4. Photomicrographs of ceramic thin sections, taken under crossed polars (XP) at 40x, a-c, Pabric 1, samples TA003 (a), TAR010 (b) and TAR047 (c); d-e, Pabric 2, sampler TARO27 (d) and TARO28 (e); f, Fabric 3, sample TARO81; g, Fabric 4, sample TARO72; h, Fabric 5, sample TARO92; i, Fabric 6, sample TARO42,

Journal of Archaeological Science: Reports 40 (2023) 103037

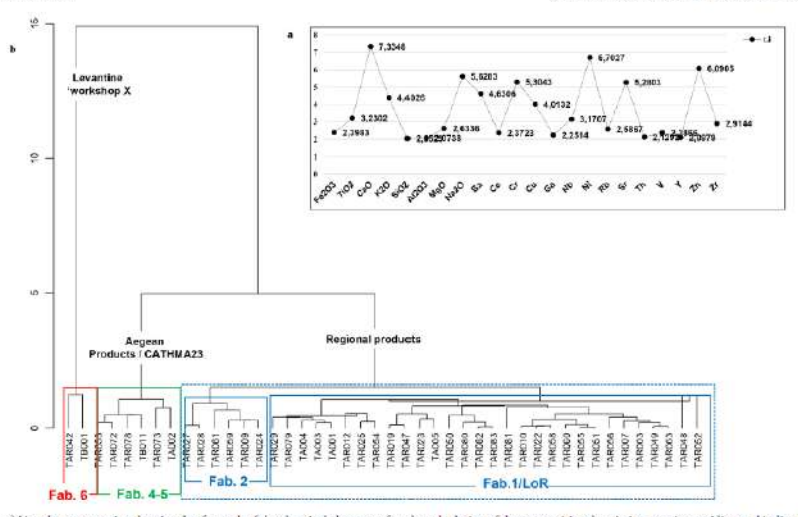


Fig. 5. a) Lineplot representing the Li. value for each of the chemical elements after the calculation of the compositional variation matrix providing and indication of the variability introduced by each chemical element in the dataset in the data set; b) Dendrogram resulting from cluster analysis (GA), using the centroid azzlomerative method and the squared Euclidean distance, based on the subcomposition Fe<sub>2</sub>O<sub>5</sub> (as total Fe), Al<sub>2</sub>O<sub>5</sub>, TiO<sub>2</sub>, MgO, CaO, Na<sub>2</sub>O, KgO, Ba, Rb, Mo, Th, Nb, Zr, Y, Sr, Sn, Ce, Ga, V, Zn, Cu, Ni and Cr, using SiO2 as divisor in the log-ratio transformation of the data.

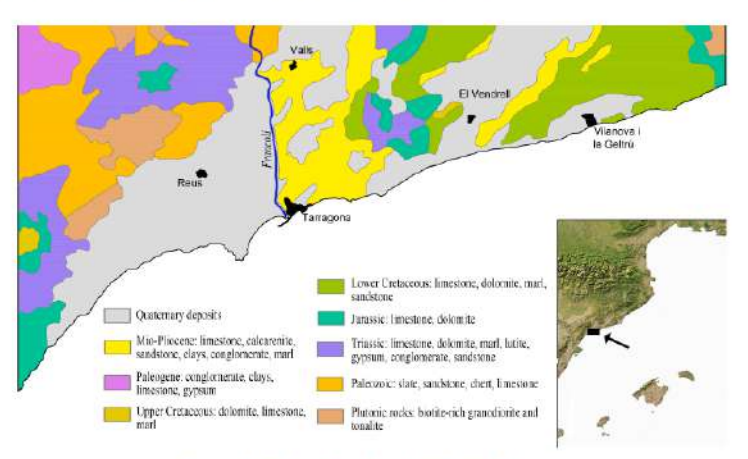


Fig. 6. Geological map of the area of Tarragona (based on IGME 1987).

"Workshop X". An element to take into consideration is that this form is transition between the late 7th and the early 8th century. attested in France during the first half of the 7th century, but not later (Reynolds, 2010: 131ff). In Tarragona, the presence of this cooking pot is documented hereinafter and suggests continued imports until the

Another six samples analyzed, TA002, TB0011, TAR053, TAR072, TAR073, and TAR078, form a separate group in the multivariate statistical treatment of the XRF chemical data (Fig. 5b). Five of these six



# Proyecto amphorae ex Hispania



Almagro 51C
Western Lusitania
175 ~ 450

Keay 23 Lusitana 4 Martinhal 3 Peacock & Williams 23

🌋 Catarina Viegas, Jorge Manuel Cordeiro Raposo, Ines Vaz Pinto

Read File



Dressel 1

Baetica Ulterior coast -140/130 ~ -30/25

Benoît 1 Ostia 20 Peacock & Williams 3 Peacock & Williams 4 Peacock & Williams 5

@ July 08, 2016



### Beltrán IIA

Baetica coast ca. 15/25 ~ 150

Augst 27 Augst 29 Callender 6 Camulodunum 186C Dréssel 38 Ostia 63
Peacock & Williams 18 Pélichet 46

@ July 08, 2016

🎄 Enrique García Vargas, Daniel Martin-Arroyo, Lázaro Gabriel Lagóstena Barrios

Read File



#### Dressel 1

Guadalquivir Valley -110/90 ~ -30/25

Benoît 1 Ostia 20 Peacock & Williams 3 Peacock & Williams 4 Peacock & Williams 5



#### Beltrán 68

Baetica coast 250 ~ 400

3 July 08, 2016 🎍 Derio Bernal Casasola

Read File



#### Beltrán 72

Baetica coast 175/200 = 450

Ostia 60

July 08, 2016
 Derio Bernal Casasola



#### Beltrán IIB

Baetica coast 50 ~ 225

Augst 26 Augst 28 Ostis 58 Peacock & Williams 19

July 08, 2016

🋔 Enrique García Vargas, Dario Bernal Casasola, José Juan Díaz Rodríguez

Read File



#### Dressel 1

Tarraconensis northern coastal area -100/-90? ~ -10/1?

July 08, 2016

🍰 Jordi Mirá



# Proyecto amphorae ex Hispania



Download File

Click here to start downloading the last version of this amphora file.

iorae ex Hispania. Landscapes of production and consumption (http://amphorae.icac.cat/amphora/almagro-51c-western-lusitaria), 20 July, 2016

[1987], podendo afirmar-se que se trata da ânfora que maior volume de produção conheceu durante o Balxo-Império (figuras 1 é 2).



Figura 1 - Ánforas Almagro 51c Iusitanas.

1. Abúl. Variante B (segundo MAYET & SILVA, 2009, 68°);

Z. Pinheiro, Variante C, sobre suporte tubular (segundo AMAYET & SILVA, 1998, planche XV.B);

3. Tróla? Colecção MNA (segundo ALARCÁO, 1997, 71);

4 e 5. Tróla. Colecção MNA (fotos: Arquivo MNA / João Almeida);

6. Porto dos Cacos (segundo ALARCÁO, 1997, 70)

tes, de acordo com o perfil do corpo; piriforme ou fusiforme; esta última mais alta e estreita. Na bibliografia ligada às produções do Sado estas variantes têm sido identificados com as letras B (piriforme) e C (fusiforme) (MAYET, SCHMITT & SILVA, 1996; ETIENNE & MAYET, 2002). A variante A, que os mesmos autores consideraram ma 1 ficha da Lusitana 3 – Lusitânia Ocidentali.

at de forma extensiva em inúmeros sitios de produção. Com um bordo que pode apresentar uma variabilidade considerável, vertical, triangular ou arredondado, esta variante distingue-se da anteriormente designada variante A (hoje denominada Lusitana 3) por ser um pouco mais alta (ÉTIENNE & MAYET, 2002, 145). Apresenta o co corpo piciforme que termina num fundo estreito e cilindrico (FABIÁO & CARVALHO, 1990, 51; ÉTIENNE & MAYET, 2002, 145).

OGO, 1987, Figs. 2 e 7). Esta forma, que se encontra genericamente englobada na variante C, de corpo fusiforme, foi produzida nos vales do Tejo e Sado e está representada em diversos locais de consumo como Conúmbriga (ALARCÃO, 1976, 75-77), S. Cucufate (ALARCÃO, ÉTENNE & MAYET, 1990: 254) e Santarém (ARRUDA, VIEGAS 1 pue por um colo e bocal mais largos do que é habitual na Almagro S1c.

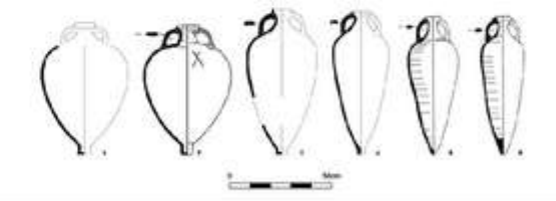


Figura 2 - Ánfaras Almágro 51c lusitanas.

1. Porto dos Cacos (segundo RAPOSO, SABROSA & DUARTE, 1995, Est. IV, n.º 6);

2. Abul. Variante B (segundo MAYET & SILVA, 2002, 179, fig. 96);

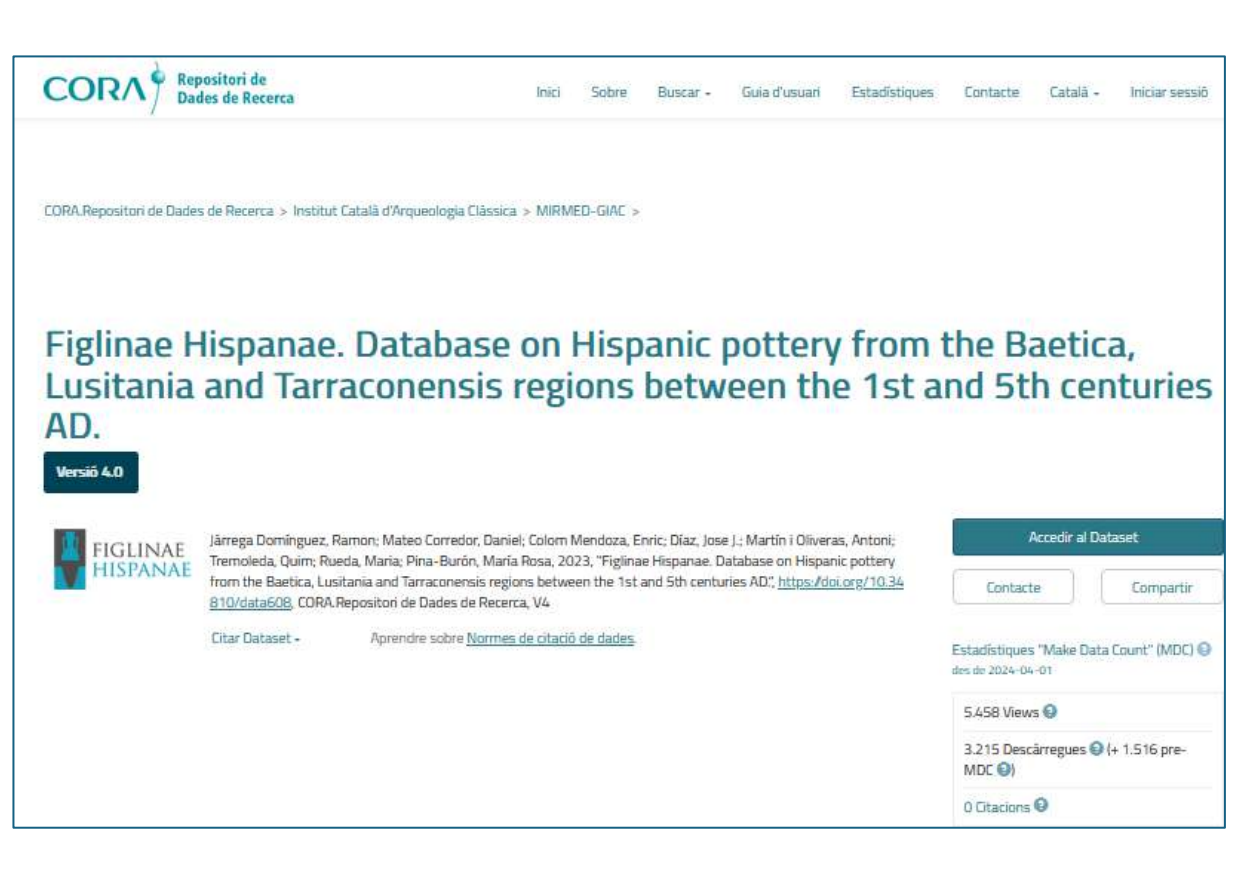
3. Quinta de Rouxinol (segundo RAPOSO, SABROSA & DUARTE, 1995, Est. IV, n.º 4);

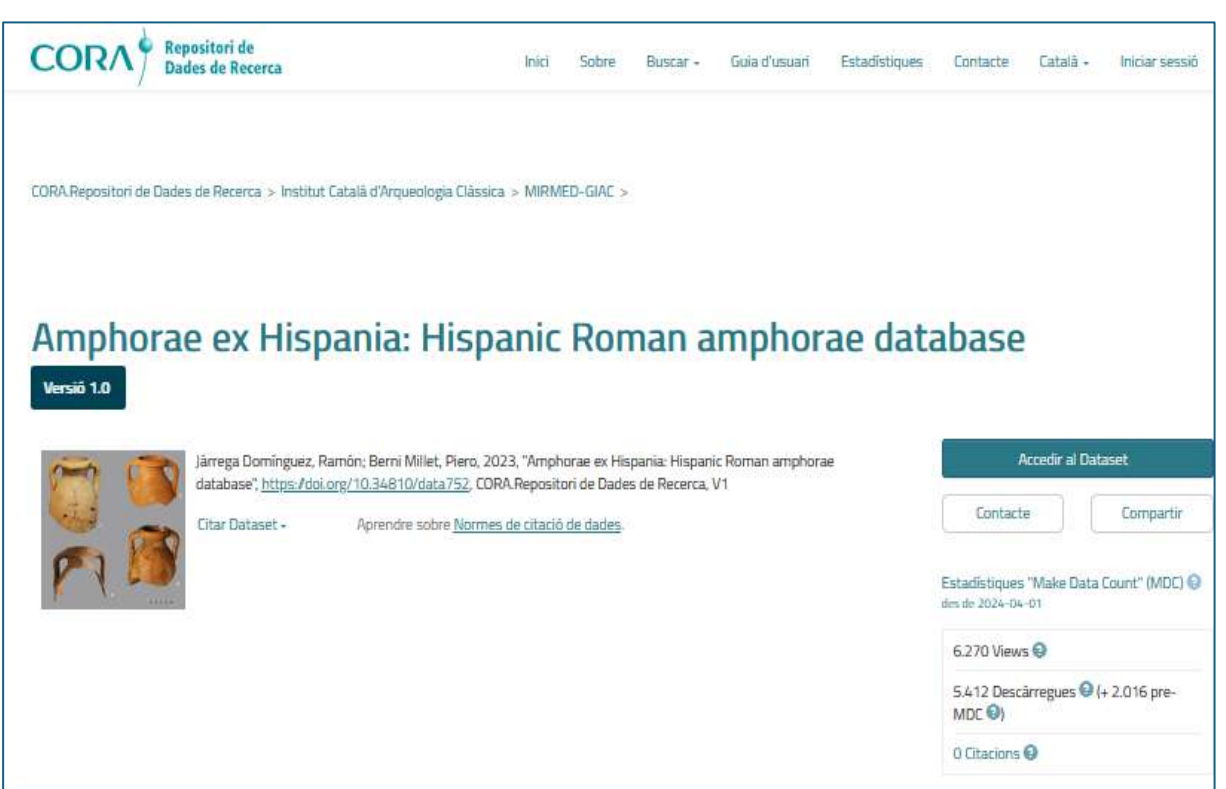
4. Porto dos Cacos (segundo RAPOSO, SABROSA & DUARTE, 1995, Est. IV, n.º 5);

5 e 6. Pinhoiro, Variante C (segundo segundo MAYET & SILVA, 1998, 203, fig. 78, n.º 5 1 e 2)



# Proyecto amphorae ex Hispania







# Proyectos numismáticos

Metadades



Sobre Buscar - Guia d'usuari Estadístiques Contacte Català - Iniciar sessió

ADDIUS

Taula

Arbre

Coins from the cloister of Tarragona Cathedral



Caldés Aquilué, Öscar; Gutièrrez Soto, Itziar, 2024, "Coins from the cloister of Tarragona Cathedral", https://doi.org/1 0.34810/data1403, CORA Repositori de Dades de Recerca, V1

CORA.Repositori de Dades de Recerca > Institut Català d'Arqueologia Clàssica > Late Antiquity Archaeology > Late Antique coins from the eastern Iberian Peninsula >

Citar Dataset +

Aprendre sobre Normes de citació de dades

Accedir al Dataset

Estadistiques "Make Data Count" (MDC) 0 des de 2024-04-01

1.347 Views @

477 Descărregues 🖯

O Citations @

→ CCTGN1955

Canviar la Visualització

CCTGN1955\_monedes.tab (5.8 KB)

dic dades tab (2.2 KB)

Illista anous.tab (6.4 KB)

README.txt (8.8 KB)

Fotografies

▶ ■ Arrivers

▶ @ Revers







# Las ánforas del vertedero del Claustro de la Catedral de Tarragona (s. V d.C.)

Excavacions en el conjunt monumental de la Catedral de Tarragona (III Fase). (Projecte quadriennal CLT 2022 EXP ARQ001SOLC 00000160)

Itziar Gutiérrez-Soto Francesc Rodríguez Martorell Josep Maria Macias Solé









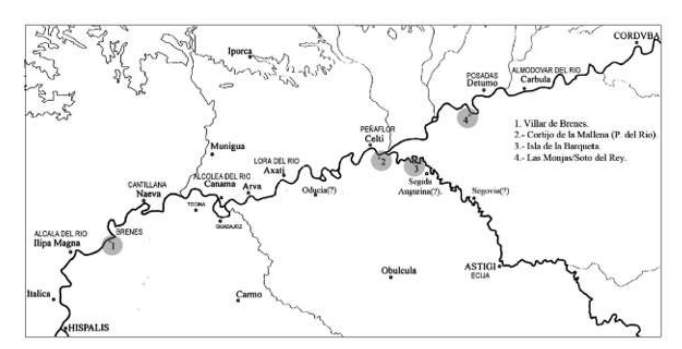




Keay 21 Indeterminada LRA 4 A2 Indeterminada

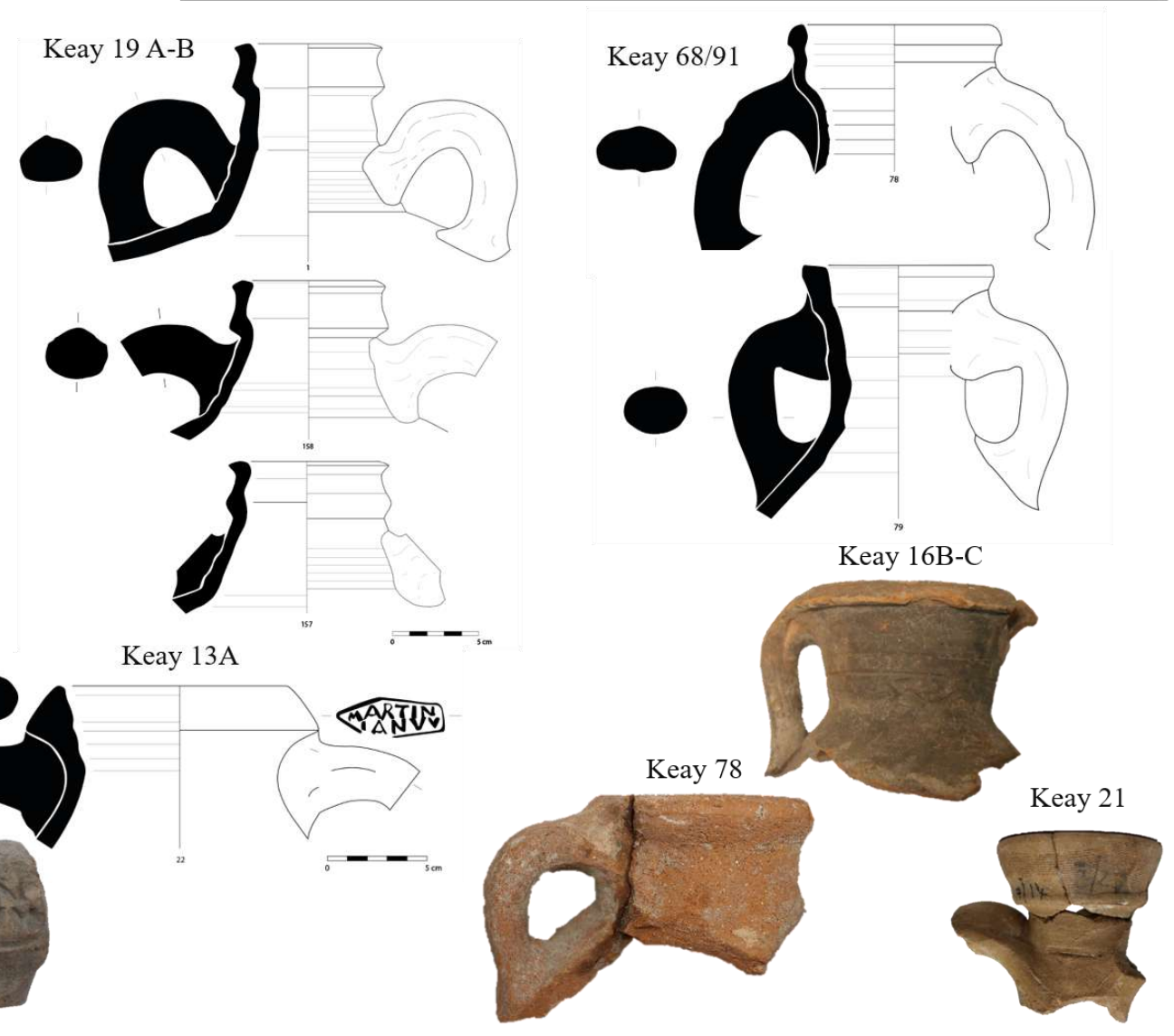


Origen	Tipo	IE	%	
Bética: Málaga	Keay 13C-D	7	5,88	
Bética: Málaga	Keay 19A-B	18	15,12	
Bética: Guadalquivir	Keay 13A	11	9,24	
Bética: Indeterminada	Almagro 50	1	0,84	
Bética: Indeterminada	Keay 19C	1	0,84	
TOTAL		38		
Origen	Tipo	IE	%	
Lusitania: Sado / Tajo	Keay 16B-C	13	10,92	
Lusitania: Sado / Tajo	Keay 78 / Sado 1	5	4,2	
Lusitania: Algarve	Almagro 51C	5	4,2	
Lusitania: Algarve Lusitania: Indeterminada	Almagro 51C Keay 68/91	5 22	4,2 18,48	



(Berni & Moros 2012: 204)

# Las ánforas del vertedero del Claustro de la Catedral de Tarragona



















https://doi.org/10.34810/data1335

## **AGRADECIMIENTOS**

Este estudio se enmarca en el proyecto cuatrienal "Excavaciones en el conjunto monumental de la Catedral de Tarragona (III Fase, 2022-2025)", financiado por la Generalitat de Cataluña (CLY009/22/0012). Esta publicación es parte también del proyecto I+D+i "ARTISAN - Creando narrativas en la arcilla: desentrañando cambios económicos y socioculturales a lo largo de los periodos visigodo y omeya en la Península Ibérica oriental (PID2023-153086NB-100)", financiado por MICIU/AEI/10.13039/501100011033. También se quiere agradecer su colaboración al Museu Diocesà de Tarragona y al Museu Bíblic Tarraconense, así como a su directo Andreu Muñoz Melgar.

## CONSULTA LAS ÁNFORAS EN EL REPOSITORIO DE DATOS CORA

La base de datos de las ánforas aquí presentadas puede consultarse en el Repositorio de datos en abierto CORA en el siguiente DOI: <a href="https://doi.org/10.34810/data1335">https://doi.org/10.34810/data1335</a>.





Home

About

Search -

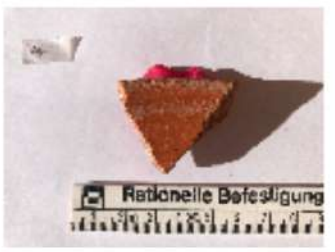
User Guide

Metrics

Contact

English -

Log In



Gutiérrez Soto, Itziar; Macias Solé, Josep Maria; Rodríguez Martorell, Francesc, 2024, "Ceramics from the cloister of Tarragona Cathedral", <a href="https://doi.org/10.34810/data1335">https://doi.org/10.34810/data1335</a>, CORA.Repositori de Dades de Recerca, V2

Cite Dataset ▼

Learn about Data Citation Standards.

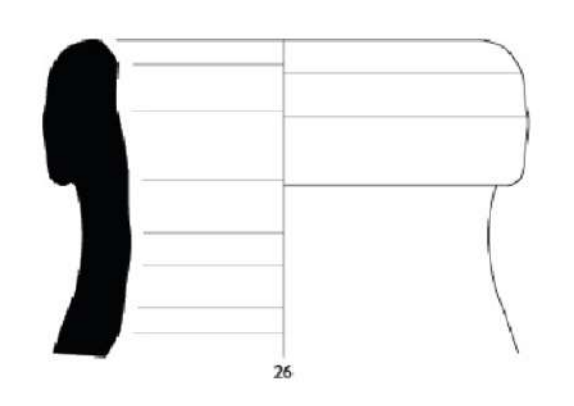
## Change View

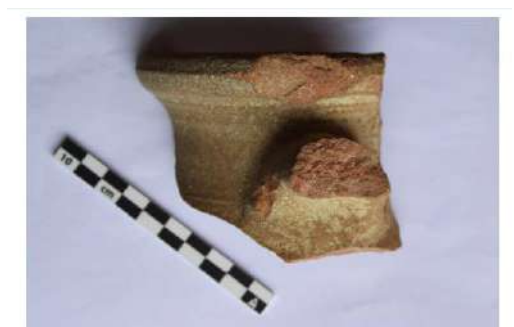
Table Tree

- ▼ **CCTGN1955** 
  - CCTGN1955 bbdd.tab (62.1 KB)
  - dic\_dades.tab (1.9 KB)
  - Ilista\_arxius.tab (54.6 KB)
  - README.txt (9.4 KB)
  - ▶ Dibuixos
  - Fotografies
  - Microfotografies

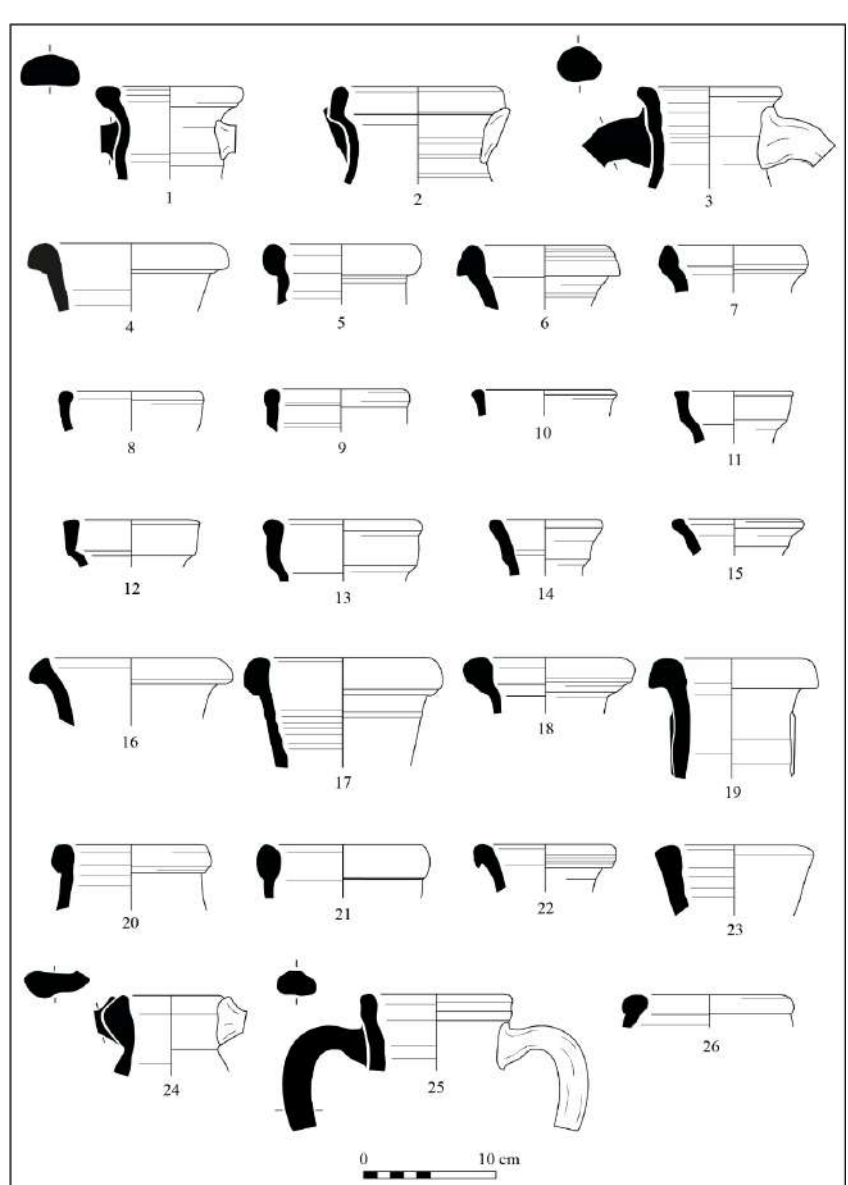




















CC.MF0111.jpg



CC.MF0115.jpg



CC.MF0177.jpg



CC.MF0104.jpg



CC.MF0105.jpg



CC.MF0106.jpg



CC.MF0107.jpg



CC.MF0108.jpg



CC.MF0109.jpg



CC.MF0110.jpg



CC.MF0112.jpg



CC.MF0113.jpg



CC.MF0114.jpg





CC.MF0116.jpg



CC.MF0175.jpg



CC.MF0176.jpg



CC.MF0187.jpg

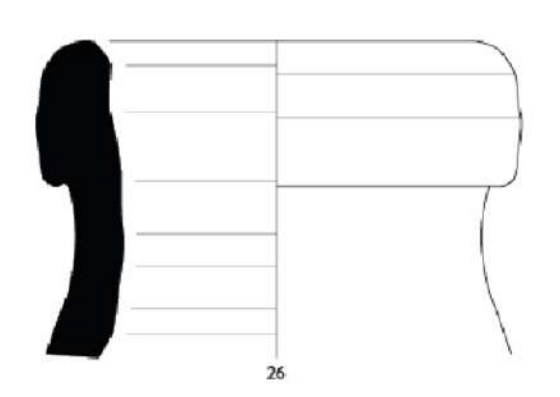


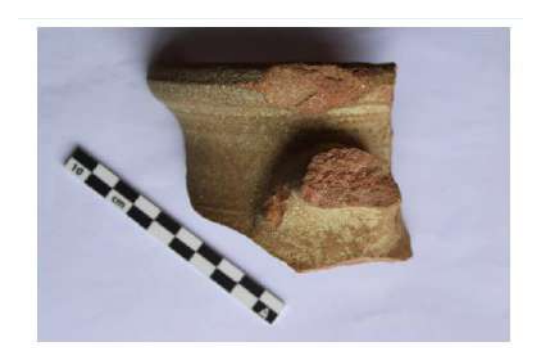
CC.MF0201.jpg



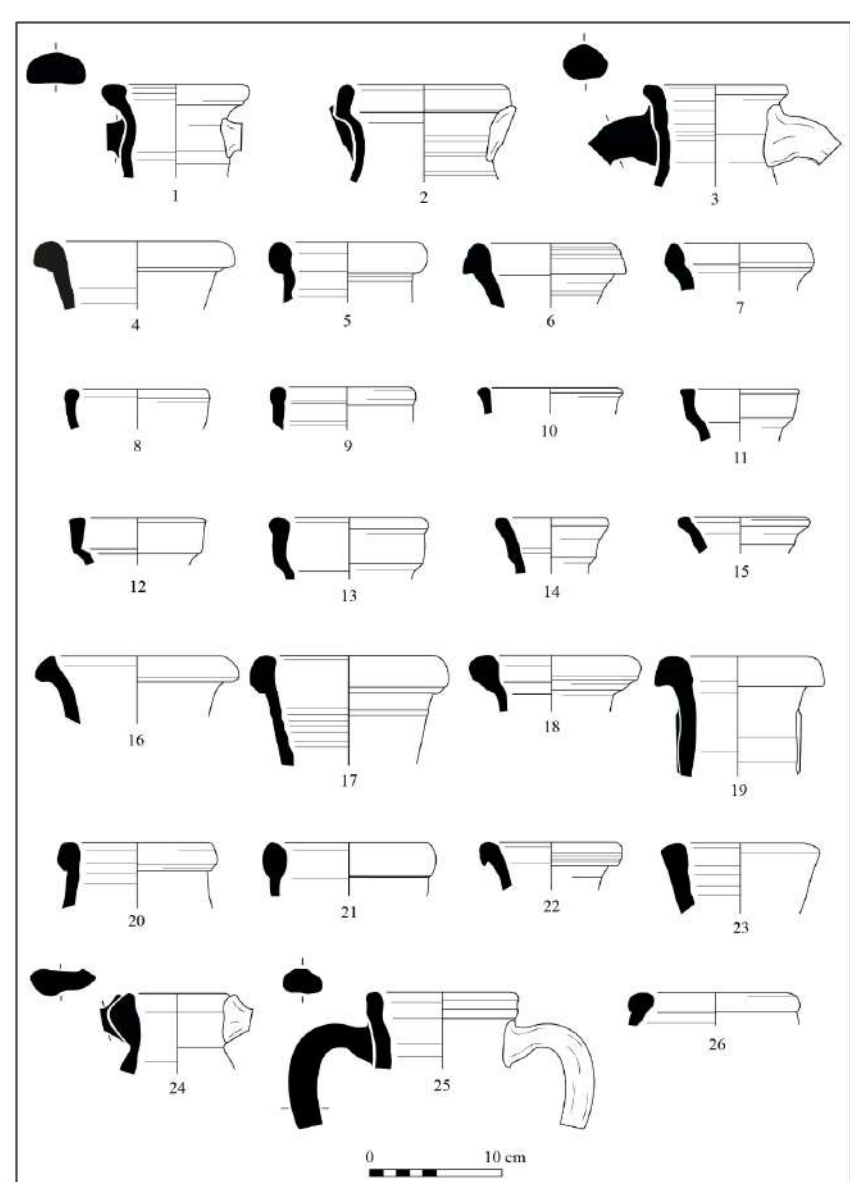
CC.MF0222.jpg













CC.F0021.JPG



CC.F0022.JPG



CC.F0023.JPG



CC.F0024.JPG



CC.F0025.JPG



CC.F0026.JPG



CC.F0027.JPG



CC.F0028.JPG



CC.F0029.JPG



CC.F0030.JPG



CC.F0031.JPG



CC.F0032.JPG



CC.F0033.JPG



CC.F0034.JPG



CC.F0035.JPG



CC.F0036.JPG



CC.F0037.JPG



CC.F0038.JPG



CC.F0039.JPG



CC.F0040.JPG



Any	Titol	Total Views	Unique Views	Total Downloads	Unique Downloads	Citations
2021	Base de dades dels elements patrimonials vinculats al subministrament d'aigua als municipis de Tarragona, La Canonja, El Catllar i Els pallaresos	661	456	39	20	0
2022	Digitisation of the Roman Circus of Tarragona. 3D point clouds	562	353	44	13	0
2023	The cavea of the Roman Circus of Tarraco (3D Model)	383	247	18	11	0
2023	Pretori Tower (Tarragona). 3D Model	340	216	20	14	0
2023	Roman circus of Tarraco grandstand : Sedassos sector (3D Model)	364	217	36	15	0
2023	Roman Circus of Tarragona. Modern city (3D Model)	394	257	21	15	0
2023	Roman Circus of Tarragona: Ancient Roman city (3D Model)	353	223	28	16	0
2023	Roman Circus of Tarragona : Medieval City (3D Model)	376	245	27	15	0
2023	General planimetry of the Roman Circus in Tarragona	665	406	121	18	0
2023	Head of Roman Circus in Tarragona	499	342	48	8	0
2023	Sectors of Roman Circus in Tarragona	845	438	67	20	0
<mark>2024</mark>	Ceramics from the cloister of Tarragona Cathedral	<mark>22.524</mark>	<mark>1.767</mark>	<mark>17.897</mark>	<mark>54</mark>	<mark>0</mark>
	TOTAL	27.966	5.167	18.366	219	0



Institution	Total Views	Unique Views	Total Downloads	Unique Downloads	Citations						
UPC	694.953	6.026	676.091	411	0	URL	9.280	2.448	1.447	9	0
UPC	131.147	2.216	121.635	110	1	IDIBELL	8.921	837	6.965	50	0
UPC	109.020	475	108.289	23	0	UB	8.710	326	26	4	0
UPF	51.363	758	7	5	0	UOC IRTA	8.386	517	3	2	0
UPC	51.318	1.397				UdL	7.543 7.355	2.228 1.701	26 18	4 10	0
			49.493	24	0	Agrotecnio	7.355	1.701	18	10	0
UB	35.817	3.437	5.922	203	0	UAB	7.221	212	0	0	0
UOC	33.831	586	14	7	0	IPHES-CERCA	7.174	2.446	708	11	0
UPF	27.402	411	26.821	39	0	IRSantPau	6.446	1.451	1.803	5	0
<b>ICAC-CERCA</b>	<mark>22.524</mark>	1.767	<mark>17.897</mark>	<mark>54</mark>	O	UIB	6.343	303	32	7	4
UB	22.234	838	20.555	54	0	ICAC-CERCA	<mark>6.220</mark>	<mark>620</mark>	<mark>5.412</mark>	<mark>11</mark>	<mark>0</mark>
IBEC	22.038	5.121	7.603	3	0	CTFC UdL	6.133	1.864 1.864	8	5 5	0
CVC	21.218	387	20.016	34	2	ICFO-CERCA	6.133 6.052	404	8	8	0
UB	20.777	586	6.676	81	0	CRM	5.885	2.234	56	9	0
UdG	20.777	466	14.368	15	0	UAB	5.854	1.482	3.741	26	0
						UOC	5.812	200	4.385	10	0
UdL	19.966	200	15.765	7	1	ICFO-CERCA	5.457	950	0	0	0
UIB	18.644	578	14.718	64	0	ICAC-CERCA	<mark>5.378</mark>	<mark>1.671</mark>	<mark>3.215</mark>	<mark>16</mark>	<mark>0</mark>
UPC	17.941	1.459	14.777	490	0	IPHES-CERCA	5.312	352	4.404	31	0
UPF	17.798	275	17.423	6	0	UPC IBEC	5.274 5.224	1.143 434	2.264 105	5 6	0
UOC	17.473	451	16.799	4	0	UAB	5.205	1.989	1.779	451	0
IRTA	16.204	549	65	11	0	UdG	5.192	2.947	6	5	0
IRTA	15.514	364	61	7	0	URL	5.106	477	814	7	0
IRTA	14.856	2.660	52	13	0	UPC	5.072	553	4.015	53	1
UPF	12.235	899	10.161	6	0	UAB	5.056	452	10	6	0
UAB	11.565	467	10.101	7	0	UAB	5.012	526	2.799	3	0
						UPF UAB	4.901 4.765	822 521	0 37	0 21	0
ICN2	11.305	563	9.052	5	1	UdL	4.747	2.792	210	105	0
UdG	11.025	307	8.175	8	0	IRB	4.747	2.792	210	105	0
UAB	10.016	532	9.260	1	0	UB	4.554	361	32	16	0